

UNIVERSIDAD DEL AZUAY FACULTAD DE CIENCIA Y TECNOLOGÍA ESCUELA DE INGENIERÍA CIVIL Y GERENCIA DE CONSTRUCCIONES

Modelación comparativa entre columnas de acero y secciones equivalentes rellenadas con hormigón.

Trabajo de grado previo a la obtención del título de:

INGENIERO CIVIL CON ÉNFASIS EN GERENCIA DE CONSTRUCCIONES

Autor:

PAÚL ESTEBAN RAMÍREZ CABRERA

Director:

VAZQUEZ CALERO JOSÉ FERNANDO

CUENCA – ECUADOR

2015

DEDICATORIA

Este logro obtenido va dedicado al cielo, a esa persona que dejo este mundo para convertirse en ese ángel de la guarda que siempre nos da la mano para continuar, por haberme enseñado que lo más valioso en la vida es luchar por mis sueños y sobre todo por dejarme sus huellas para seguir, Papá.

A mi madre por no haberse rendido y por sacrificar muchas cosas por verme cumplir este sueño de concluir esta etapa de mi vida y ser un profesional, por ser papa y mama a la vez.

A mis hermanos y a todas las personas que aportaron su interés en este logro.

Todo lo inmenso que me han otorgado hoy se ve reflejado en el cumplimiento de esta meta

AGRADECIMIENTOS

Después de recorrer un largo camino en el cual se aprende, se crece profesionalmente y personalmente, llega el fin donde nos detenemos a pensar en lo que hemos alcanzado. Por eso en esta tesis quiero agradecer a mi madre Inés Lucia que jugó un rol importante en este trayecto, más que madre fue mi amiga, mi profesora de vida, mi padre, mi todo.

De la misma manera agradezco a mis hermanos Wagner Daniel y Felipe Mauricio aunque menores a mí me han enseñado que debo superarme y salir adelante a pesar de los obstáculos que se me presentan, también, les agradezco porque son las personas por las cuales busco superarme cada día para ser su ejemplo.

Mando mis agradecimientos mirando al cielo, pues desde ahí la persona que me ayudo, que me empujo cada vez que intentaba rendirme, está cuidándome y sigue enseñándome a ser fuerte para continuar en esta lucha, porque si de algo estoy seguro es que mis estudios no concluyen aquí, cumpliré mis sueños de ser mejor cada día así también enorgulleciendo a mi familia. Eternamente amo a mi familia, Ramírez Cabrera.

Mis demás familiares también me apoyaron con sus palabras de alientos para que cumpla este sueño por eso al concluir esta etapa me veo en la responsabilidad de agradecerles por ello.

Todos los días agradeceré a Dios por haberme dado la fuerza suficiente para alcanzar mis metas, y estar en donde estoy.

Por último y no menos importante agradezco a mis profesores de la distinguida universidad por todo lo aprendido en las aulas y en los pasillos, ellos me han visto crecer y han ayudado a mi formación profesional.

"El futuro mostrará los resultados y juzgará a cada uno de acuerdo a sus logros"

Nikola Tesla

ÍNDICE DE CONTENIDO

CONTENIDOS	Páginas.
DEDICATORIA	ii
AGRADECIMIENTOS	iii
ÍNDICE DE TABLAS	vi
ÍNDICE DE FIGURAS	vii
RESUMEN	ix
ABSTRACT Y KEYWORDS	x
INTRODUCCION	1
1. CAPÍTULO I GENERALIDADES	2
1.1. Objetivo general	2
1.2. Objetivos específicos	2
1.3. Hipótesis	2
1.4. Antecedentes	3
1.5. Problemática	4
2. CAPÍTULO II LEVANTAMIENTO DE INFORMACIÓN	5
2.1. Secciones mixtas	5
2.1.1. Hormigón	6
2.1.1.1. Introducción	6
2.1.1.2. Propiedades mecánicas del hormigón	6
2.1.1.2.1. Resistencia a la compresión	6
2.1.1.2.2. Módulo de elasticidad	8
2.1.1.2.3. Ductilidad	11
2.1.1.2.4. Resistencia a la tracción	14
2.1.1.2.5. Resistencia al corte	15
2.1.1.2.6. Flujo plástico	16
2.1.2. Acero	17
2.1.2.1. Propiedades mecánicas del acero	17
2.1.2.1.1. Comportamiento elástico	18

2.1.2.1.2. Esfuerzo de fluencia	18
2.1.2.1.3. Resistencia a la rotura	19
2.1.2.1.4. Módulo de elasticidad	20
2.1.2.1.5. Ductilidad	20
2.2. Características de la sección mixta	21
2.2.1. Características estructurales	22
2.2.2. Características constructivas	23
2.2.3. Características estéticas	24
2.3. Principales ventajas y desventajas	24
2.3.1. Ventajas de las columnas mixtas	24
2.3.2. Desventajas de las columnas mixtas	25
3. CAPÍTULO III MODELACIÓN DE LA SUPERESTRUCTURA	26
3.1. Uso de un programa de computación especializado	26
3.2. Modelación y agrupación de cargas	26
3.3. Modelación estructural con columnas mixtas	27
3.4. Modelación estructural con acero estructural	71
4. CAPÍTULO IV ANÁLISIS DE PRECIOS UNITARIOS	111
4.1. Cantidades de obra	111
4.2. Cálculo de precios unitarios	112
CONCLUSIONES Y RECOMENDACIONES	114
Conclusiones:	114
Recomendaciones:	121
BIBLIOGRAFÍA	122
ANEXOS	123

ÍNDICE DE TABLAS

Tabla 1 Módulos de elasticidad de hormigones de diferentes resistencias 11
Tabla 2 Índice de ductilidad por deformación
Tabla 3 Índice de ductilidad por energía de deformación
Tabla 4 Resistencia a la tracción del hormigón
Tabla 5 Resistencia al corte del hormigón
Tabla 6 Tabla detallada de Cantidades de Obra para Columnas Mixtas 111
Tabla 7 Tabla detallada de Cantidades de Obra para Columnas de Acero 112
Tabla 8 Tabla de Cantidades de Obra
Tabla 9 Precios Unitarios de Columnas
Tabla 10 Porcentaje de ahorro según el número de pisos

ÍNDICE DE FIGURAS

Figura	1 Curva de distribución de resistencia de hormigones	7
Figura	2 Curva Esfuerzo-Deformación	8
Figura	3 Rangos de Comportamiento del hormigón	9
Figura	4 Módulo de Elasticidad o Módulo de Young	10
Figura	5 Deformaciones unitarias máximas en rango elástico	11
Figura	6 Representación de la ductilidad por energía de deformación	13
Figura	7 Deformaciones del hormigón bajo cargas axiales a largo plazo	16
Figura	8 Cargas axiales en el hormigón bajo deformaciones axiales a largo plazo . I	17
Figura	9 Comportamiento elástico del acero estructural	18
Figura	10 Esfuerzo de fluencia	19
Figura	11 Resistencia a la rotura.	19
Figura	12 Módulo de elasticidad del acero	20
Figura	13 Ductilidad	21
Figura	14 Estructura de dos pisos con Columnas Mixtas	27
Figura	15 Deformación de Estructura con Columnas Mixtas usando Combinacion	es
según l	a NEC vista	57
Figura	16 Deformación de Estructura con Columnas Mixtas usando Combinacion	es
según l	a NEC vista lateral	58
Figura	17 Sismo en "X" vista frontal	58
Figura	18 Sismo en "X" vista lateral	59
Figura	19 Sismo en "Y" vista frontal	59
Figura	20 Sismo en "Y" vista lateral	70
Figura	21 Estructura de dos pisos con Columnas de Acero	71
Figura	22 Deformación de Estructura de Acero usando Combinaciones según	la
NEC v	ista frontal)8
Figura	23 Deformación de Estructura de Acero usando Combinaciones según	la
NEC v	ista lateral)8
Figura	24 Sismo en "X" vista frontal)9
Figura	25 Sismo en "X" vista lateral)9
Figura	26 Sismo en "Y" vista frontal	10

Figura	27 Sismo en "Y" vista lateral
Figura	28 Cantidad de Acero según el número de pisos en gráfico de barras 114
Figura	29 Cantidad de Acero según el número de pisos
Figura	30 Derivas de Columnas según el número de pisos en gráfico de barras 116
Figura	31 Derivas de Columnas según el número de pisos
Figura	32 Desplazamiento Máximo de Columnas según el número de pisos en
gráfico	de barras
Figura	33 Desplazamiento Máximo de Columnas según el número de pisos 118
Figura	34 Comparación del Costo de Columnas
Figura	35 Porcentaje de ahorro en Columnas Mixtas

MODELACIÓN COMPARATIVA ENTRE COLUMNAS DE ACERO Y SECCIONES EQUIVALENTES RELLENADAS CON HORMIGÓN.

RESUMEN

Este trabajo de titulación tiene por objetivo realizar un análisis comparativo entre todas las ventajas y desventajas que nos ofrecen las columnas de sección mixta y las columnas con secciones de acero estructural ya que resulta de gran ayuda que existan diversos métodos constructivos hoy en día para aprovecharlos al máximo cada uno de ellos dependiendo de las necesidades que existan.

Se realizó la modelación de cuatro estructuras, desde dos hasta cinco pisos usando columnas de sección mixta y columnas con cajas metálicas para un posterior análisis de precios unitarios, cantidades de obra y comportamiento de las estructuras; el trabajo se enfoca en deducir las principales diferencias que existen entre estos dos tipos de metodologías.

Palabras Clave:

Secciones, mixtas, compuestas, modelación, acero, comparación, compuestas.

José Fernando Vázquez Calero

LOSEVAZQUEZ (

Paúl Cornelio Cordero Díaz

Director de Tesis

Director de Escuela

Paúl Esteban Ramírez Cabrera

Autor

MODELING COMPARISON BETWEEN STEEL COLUMNS AND CONCRETE-FILLED EQUIVALENT SECTIONS

ABSTRACT

This graduation work aims to perform a comparative analysis of all the advantages and disadvantages offered by mixed columns and columns with structural steel sections. It is of great help that today there is a variety of construction methods to take advantage of, according to the different needs.

The modeling of four structures from two to five floors was performed using mixedsection columns and columns with metal boxes. This was carried out for further analysis of unit prices, amounts of work and behavior of structures; hence, this work was mostly focused on deducing the main differences between these two types of methodologies.

Keywords: Sections, Mixed, Composite, Modeling, Steel, Comparison

José Fernando Vázquez Calero

Thesis Director

Paúl Cornelio Cordero Díaz

School Director

Paúl Esteban Ramírez Cabrera

Author

Dpto. Idiomas

Lic. Lourdes Crespo

Ramírez Cabrera

1

Paúl Esteban Ramírez Cabrera

Trabajo de Graduación

Ing. José Fernando Vázquez Calero

Noviembre, 2015

MODELACIÓN COMPARATIVA ENTRE COLUMNAS DE ACERO Y SECCIONES EQUIVALENTES RELLENADAS CON HORMIGÓN.

INTRODUCCION

Actualmente existen diversas metodologías de construcción para estructuras de edificios, y una de las que va tomando un peso considerable con el pasar del tiempo es el uso de columnas mixtas o equivalentes, la cual combina las ventajas que presenta el hormigón en la compresión y las ventajas en tracción de los perfiles de acero. Las columnas mixtas consisten en perfiles de acero laminados al caliente con hormigón en su interior, logrando así trabajar como un solo cuerpo que puede resistir mayores cargas que las columnas de metal únicamente o que las columnas de hormigón armado. El propósito de este método constructivo es el de reducir espesores, dimensiones, mano de obra y uso óptimo de materiales en el momento de la construcción.

La construcción de edificaciones aumenta cada día más, por lo que siempre se están innovando los métodos constructivos con el fin de ahorrar tiempo y dinero, en el caso del uso de columnas mixtas éstas son solo algunas de las ventajas que podemos destacar.

1. CAPÍTULO I GENERALIDADES

1.1. Objetivo general

El objetivo general de este trabajo previo a la obtención del título de ingeniería civil, es realizar un análisis comparativo entre los métodos tradicionales de acero estructural y el método de columnas equivalentes que consiste en cajones de metal con hormigón en su interior, haciendo énfasis en aspectos económicos.

1.2. Objetivos específicos

- Revisar un análisis del comportamiento de estructuras de edificios con la metodología de columnas equivalentes.
- Realizar un análisis comparativo en base a costos de la metodología de columnas equivalentes y los métodos tradicionales de acero estructural que se usan hoy en día.
- Tomar en cuenta las cargas que nos exige la norma ecuatoriana de la construcción para modelar la estructura de una edificación.
- Hacer un enfoque de que tan beneficioso resulta hacer una estructura con columnas conjugadas en base a cargas y número de pisos.

1.3. Hipótesis

Es posible reducir los espesores en los perfiles de columnas con acero estructural, sustituyendo las mismas por columnas mixtas compuestas de perfiles de acero rellenadas con hormigón.

Existe un beneficio económico amplio al usar columnas equivalentes, siendo este beneficio aprovechado en mano de obra y materiales.

1.4. Antecedentes

Según el estudio realizado por un grupo de investigación de la Universidad de Cantabria se dice que las columnas mixtas de metal y hormigón, de manera especial con perfiles tubulares, presentan una serie de ventajas en el campo de la construcción estructural y en el ámbito económico, las cuales son muy valoradas por los diseñadores actuales y por los ingenieros que se dedican a la construcción. Su uso se ha incrementado en Europa en estas últimas décadas. Dicha investigación sostiene que a finales de los años sesenta CIDECT (Comité Internacional para el Desarrollo y el Estudio de la Construcción Tubular) comenzó trabajos de investigación para determinar métodos de diseño para las columnas mixtas de perfiles tubulares, la cual fue publicada en 1991 en los idiomas: francés, inglés, español y alemán.

Mediante las siguientes guías de diseño CIDECT se pretende informar y explicar a los arquitectos, ingenieros, constructores, calculistas y distintos profesionales de la construcción los últimos avances en el diseño y la construcción con perfiles tubulares.

- Guía de diseño para nudos de perfiles tubulares circulares (CHS) bajo cargas predominantemente estáticas.
- Estabilidad estructural de perfiles tubulares.
- Guía de diseño para nudos de perfiles tubulares rectangulares (RHS) bajo cargas predominantemente estáticas.
- Guía de diseño para columnas de perfiles tubulares estructurales sometidas a fuego.
- Guía de diseño para columnas de perfiles tubulares rellenos de hormigón bajo cargas estáticas y sísmicas.
- Guía de diseño para perfiles tubulares estructurales en aplicaciones mecánicas.
- Guía de diseño para la fabricación, ensamble y montaje de construcciones con perfiles tubulares.
- Guía de diseño para nudos de perfiles tubulares circulares y rectangulares sometidos a solicitaciones de fatiga.

1.5. Problemática

Hasta el momento el uso de columnas compuestas no ha tomado mayor peso en nuestro medio a pesar de las distintas ventajas que posee dicho método constructivo; talvez los motivos para que no se use con frecuencia es, la falta de una normativa local o simplemente de la poca importancia que se le ha dado a las ventajas que nos presenta.

2. CAPÍTULO II LEVANTAMIENTO DE INFORMACIÓN

2.1. Secciones mixtas

En el campo de la construcción se hace frecuente la combinación de materiales como es el acero y el hormigón, para que aporten a soportar las distintas cargas a las que está expuesta una edificación, si bien estos materiales pueden trabajar solos o en conjunto dependiendo del tipo de diseño que apliquemos; podemos hablar de secciones mixtas en columnas cuando en una estructura trabajan conjuntamente o de forma solidaria el hormigón y los perfiles de acero.

No se les puede considerar a las secciones combinadas como secciones mixtas, ya que las secciones combinadas poseen diversas piezas con variedad de materiales, pero no trabajan en colaboración conjunta para soportar cargas.

La construcción mixta está caracterizada principalmente por la utilización de secciones compuestas; es decir, por secciones que están conformadas por hormigón y perfiles de acero estructural que trabajan en conjunto para resistir las distintas solicitaciones a las que está sometida una estructura; la construcción mixta no solo se utiliza en edificios o viviendas con grandes claros o con distintas peculiaridades sino que tiene un potencial uso en estructuras de puentes donde este tipo de secciones se presenta como un uso indispensable, además de ser de gran ayuda para el refuerzo de estructuras antiguas que se someten a un creciente aumento de sobrecargas por distintas causas y sobrepasan los límites de carga para las cuales fueron diseñadas.

Existen dos tipos de columnas mixtas, las columnas en las cuales el perfil de acero se encuentra recubierto por hormigón ("Steel Reinforced Concrete", SRC) y las columnas donde un perfil de acero se encuentra rellenado con hormigón ("Concrete Filled Tube", CFT, o "Rectangular Concrete Filled Tube", RCFT), el presente trabajo de tesis realizará un análisis de secciones rellenada con hormigón RCFT.

2.1.1. Hormigón

2.1.1.1. Introducción

El hormigón es una piedra artificial que se forma con la mezcla de cuatro principales componentes como son: cemento, arena, agua y grava.

Las propiedades del hormigón varían según: la cantidad y proporciones de los componentes básicos antes mencionados, de las condiciones de temperatura y humedad en la que se realizó la mezcla, de los procesos de fabricación del cemento y de las condiciones de fraguado.

Existen diversas propiedades especiales que se buscan en el hormigón como la mejor trabajabilidad, mayor resistencia, baja densidad, etc. para lograr estas propiedades se pueden añadir a nuestra mezcla ciertos químicos, aditivos, láminas de hierro, microsílice o se pueden añadir componentes básicos con características especiales como agregados livianos o pesados, cementos con distintos tipos de características como de fraguado lento o fraguado rápido, etc.

2.1.1.2. Propiedades mecánicas del hormigón

2.1.1.2.1. Resistencia a la compresión

La resistencia a compresión del hormigón viene dada después de la rotura de las muestras cilíndricas tomadas en el hormigón estos cilindros son estandarizados de 15 cm de diámetro y 30 cm de altura; la prueba de rotura de cilindros se la realiza con cargas incrementales relativamente rápidas y no duran mucho tiempo, la resistencia se la puede medir a los 28 días de fraguado del hormigón en condiciones de humedad controladas.

Para obtener la resistencia característica a la compresión del hormigón (f´c) que se utiliza para el diseño estructural nos basamos en que por términos probabilísticos solamente un pequeño porcentaje del 5% posee resistencias inferiores a la especificada, lo que nos hace entender que la resistencia media de las muestras (fm) siempre será mayor a la resistencia característica, lo que dará lugar a la siguiente curva de resistencia de los hormigones.

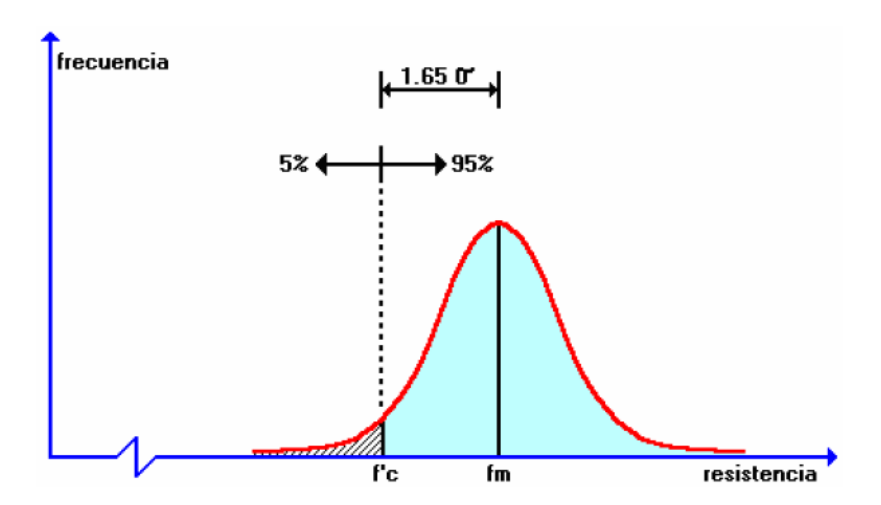


Figura 1 Curva de distribución de resistencia de hormigones

Fuente: (Marcelo Romo, 2008)

Esta curva da lugar a que la resistencia característica del hormigón sea calculada a partir de la resistencia media y la desviación estándar (σ) con la siguiente formulación:

$$f'c = fm - 1.65\sigma$$

En el código que presenta el ACI del 2008 se sostiene que la probabilidad de no alcanzar la resistencia característica del hormigón debería ser aumentada al 9%, lo que da paso a la siguiente expresión:

$$f'c = fm - 1.34\sigma$$

La resistencia a la compresión del hormigón está ligada directamente con la relación agua/cemento (cuando la relación de agua/cemento es menor existirá una resistencia mayor), el nivel de compactación (una buena compactación provoca una mayor resistencia), la cantidad de cemento (porciones altas de cemento producen un hormigón más resistente) y la granulometría de los agregados (cuando hay mejores granulometrías, la resistencia del hormigón es mayor).

2.1.1.2.2. Módulo de elasticidad

El módulo de elasticidad de un hormigón depende de las curvas esfuerzodeformación que resulten de las muestras cilíndricas sometidas a compresión bajo el estándar ASTM como se muestran en la siguiente figura:

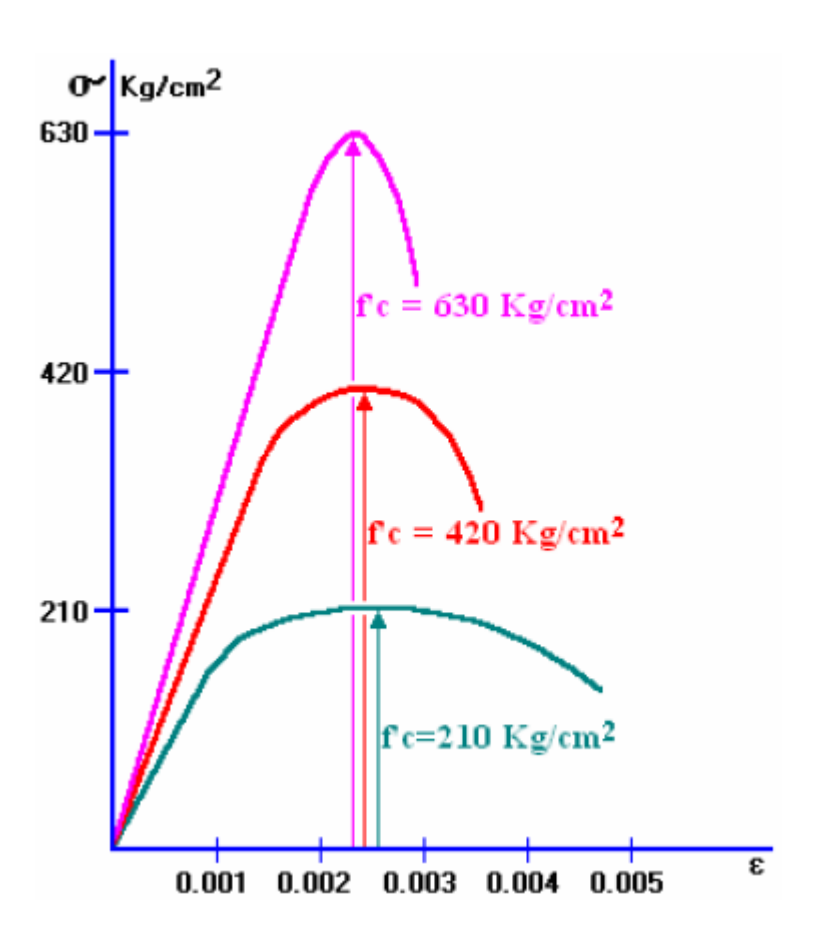


Figura 2 Curva Esfuerzo-Deformación Fuente: (Marcelo Romo, 2008)

La mayor capacidad de deformación viene dada por los hormigones de menor resistencia, en tanto que los de menor deformación son los de mayor resistencia.

Todos los hormigones presentan diferentes rangos de comportamiento dependiendo de la resistencia de cada uno, pero podemos decir que cada hormigón posee dos rangos de comportamiento. Siendo el primero un rango de comportamiento relativamente lineal (parecido a una línea recta en la curva esfuerzo-deformación) y elástico (da a entender que la geometría del hormigón vuelve a ser la misma después de colocar una carga), este rango se puede observar solamente con solicitaciones de

compresión relativamente bajas (menores al 70% de la carga de rotura). El segundo rango se trata de un comportamiento no lineal e inelástico (con una geometría curva en la curva esfuerzo-deformación) y se da solamente cuando las cargas a las cuales está sometido el hormigón son altas.

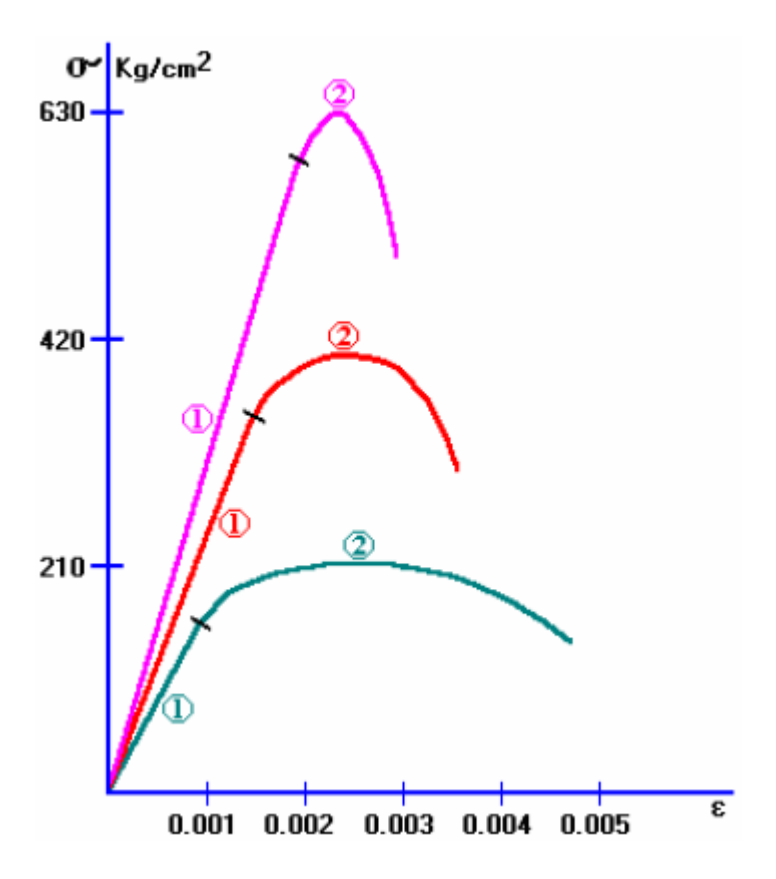


Figura 3 Rangos de Comportamiento del hormigón

Fuente: (Marcelo Romo, 2008)

Se denomina Módulo de Elasticidad del material o el Módulo de Young que se simboliza con "Ec" a la pendiente de la curva en el comportamiento lineal del hormigón. Y puede calcularse con la siguiente formulación:

$$Ec = \frac{\sigma c, 1}{\varepsilon c, 1}$$

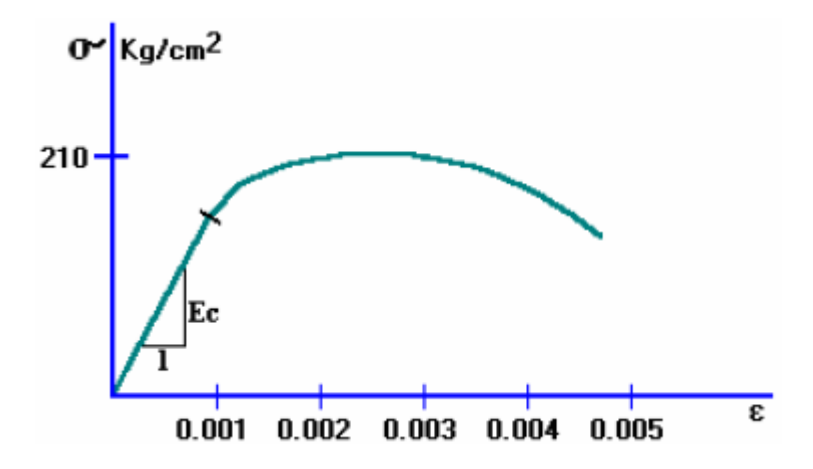


Figura 4 Módulo de Elasticidad o Módulo de Young

Fuente: (Marcelo Romo, 2008)

El Módulo de Elasticidad varía dependiendo de la resistencia a compresión del hormigón y su valor aumenta cuando la resistencia es mayor. El ACI (American Concrete Institute) propone una expresión la cual es aceptada también con el Código Ecuatoriano de la Construcción; esta formulación ha sido obtenida de forma experimental, por lo tanto, es un resultado aproximado y está dado en función de la resistencia a compresión del mismo.

$$Ec = 15000\sqrt{f'c}$$

Siendo:

Ec: Módulo de elasticidad del hormigón medido en kg/cm²

f´c: Resistencia a la compresión del hormigón medida en kg/cm²

A continuación se presenta una tabla de los Módulos de Elasticidad según las principales Resistencias del hormigón.

Tabla 1 Módulos de elasticidad de hormigones de diferentes resistencias

Resistencia	Módulo de Elasticidad
(Kg/cm2)	(Kg/cm2)
210	217000
280	251000
350	281000
420	307000

Fuente: (Marcelo Romo, 2008)

2.1.1.2.3. Ductilidad

Ductilidad hace referencia a la cualidad que posee un material para seguir deformándose no linealmente a pesar de que existan incrementos de carga mínimos, nulos e inclusive una disminución de carga.

Para cuantificar la ductilidad de un material se obtiene el cociente entre la deformación de la rotura y la deformación máxima de dicho material, cuando éste posea un comportamiento elástico.

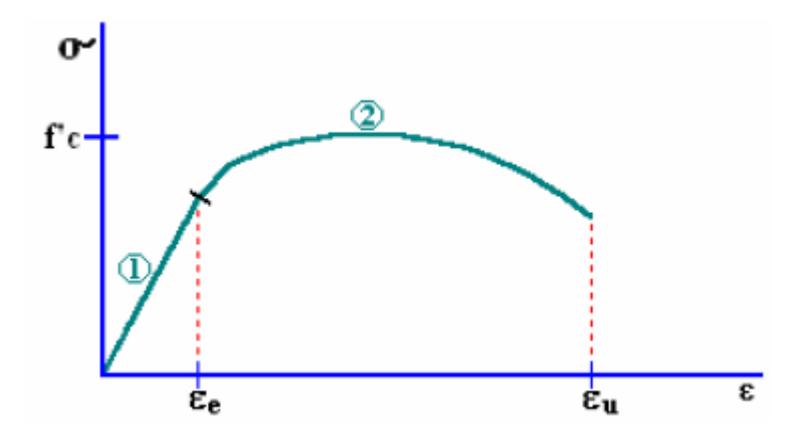


Figura 5 Deformaciones unitarias máximas en rango elástico Fuente: (Marcelo Romo, 2008)

$$D_d = \frac{\varepsilon_u}{\varepsilon_e}$$

En donde:

D_d: Índice de ductilidad por deformación.

ε_u: Deformación unitaria de rotura.

 ϵ_e : Deformación unitaria elástica máxima.

Los índices de ductilidad por deformación del hormigón simple disminuyen cuando aumenta su resistencia la rotura.

La siguiente tabla muestra valores aproximados de Índice de ductilidad según la deformación de los hormigones, en función de la resistencia a la compresión.

Tabla 2 Índice de ductilidad por deformación

Resistencia a la Compresión	Índice de Ductilidad por
(Kg/cm2)	Deformación
210	4.5 – 6.0
280	3.5 – 4.5
350	3.0 – 3.5
420	2.5 – 3.0
630	2.0 – 2.5
840	1.5 – 2.0

Fuente: (Marcelo Romo, 2008)

El índice de ductilidad por deformación es un muy buen referente de la capacidad que posee el hormigón para deformarse por encima de su límite de fluencia. Pero

existe otra manera de medir la ductilidad del hormigón en la que debemos encontrar el cociente entre la energía que se necesita para romper un material y la energía que se necesita para llevarle hasta la carga máxima de comportamiento elástico, y para dicho cálculo se debe dividir únicamente las áreas bajo la curva Esfuerzo-Deformación.

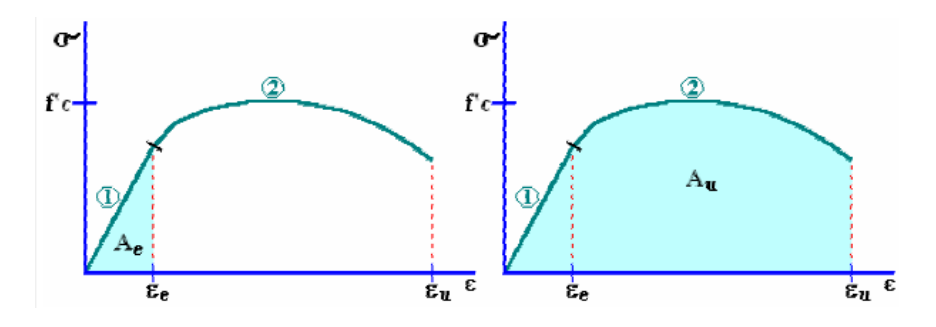


Figura 6 Representación de la ductilidad por energía de deformación Fuente: (Marcelo Romo, 2008)

$$D_{ed} = \frac{A_u}{A_e}$$

En donde:

D_{ed}: Índice de ductilidad por energía de deformación.

A_u: Energía de deformación unitaria de rotura.

A_e: Energía de deformación unitaria elástica máxima.

Generalmente los índices de ductilidad por deformación son menores a los índices de ductilidad por energía de deformación, en la siguiente tabla se muestran los principales índices de ductilidad por energía de deformación.

Tabla 3 Índice de ductilidad por energía de deformación

Resistencia a la	Índice de Ductilidad
Compresión	por Energía de
(Kg/cm2)	Deformación
210	8.0 – 10.0
280	6.0-8.0
350	5.0-6.0
420	4.0-5.0
630	3.0-4.0
840	2.0 – 3.0

Fuente: (Marcelo Romo, 2008)

El índice de ductilidad por energía de deformación es un referente para analizar la capacidad del hormigón para cuando éste actúe como disipador de energía dentro del rango inelástico, es decir con solicitaciones arriba de lo normal; por ejemplo, en el caso de un sismo fuerte que supere al sismo de diseño.

2.1.1.2.4. Resistencia a la tracción

La tracción no es una propiedad característica del hormigón ya que se trata de un material ineficiente resistiendo dichas cargas, tanto así que su resistencia representa solamente el 10% de la resistencia a compresión que posee el hormigón, por esta razón es que se añaden refuerzos de acero que colaboren con la resistencia de fuerzas de tracción.

Para saber el valor aproximado del esfuerzo máximo de tracción (ft) de un hormigón usamos la siguiente expresión:

$$f_t = 1.5\sqrt{f'c}$$

En donde:

f_t: Resistencia a la tracción del hormigón medida en kg/cm².

f'c: Resistencia a la compresión del hormigón medida en kg/cm².

En la siguiente tabla se muestran los valores aproximados de la resistencia a tracción que poseen los hormigones más comunes:

Tabla 4 Resistencia a la tracción del hormigón

Resistencia a la	Resistencia a la
Compresión	Tracción
(Kg/cm2)	(Kg/cm2)
210	22
280	25
350	28
420	31
630	38
840	43

Fuente: (Marcelo Romo, 2008)

2.1.1.2.5. Resistencia al corte

La resistencia a corte del hormigón es muy parecida a la resistencia a tracción, ya que las fuerzas cortantes que actúan en dicho material se transforman en tracciones diagonales, dando así un comportamiento y magnitud similar a la resistencia a tracción. (ROMO, 2008)

La formulación utilizada para deducir la resistencia a corte es:

$$V_c = \sqrt{f'c}$$

En donde:

V_c: Resistencia a corte del hormigón medida en kg/cm².

f´c: Resistencia a la compresión del hormigón medida en kg/cm².

Tabla 5 Resistencia al corte del hormigón

Resistencia a la	Resistencia al
Compresión	Corte
(Kg/cm2)	(Kg/cm2)
210	14
280	17
350	19
420	20
630	25
840	29

Fuente: (Marcelo Romo, 2008)

2.1.1.2.6. Flujo plástico

Cuando se aplican cargas de larga duración al hormigón, este material se somete a una deformación instantánea al inicio de la carga y a una deformación adicional que se da en un largo plazo, esta deformación adicional es producto del flujo plástico que posee el hormigón.

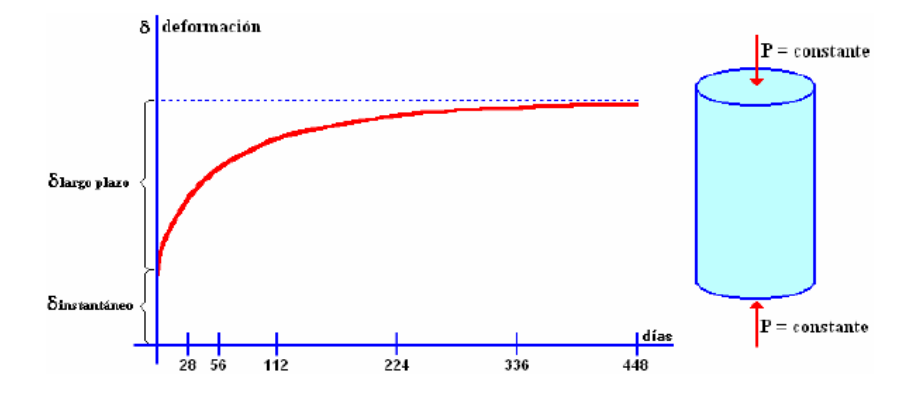


Figura 7 Deformaciones del hormigón bajo cargas axiales a largo plazo Fuente: (Marcelo Romo, 2008)

La resistencia del hormigón es la encargada de otorgar la deformación a largo plazo, y la deformación es mayor mientras menor sea la resistencia.

El flujo plástico del hormigón es ocasionado por la migración de las partículas de agua que no han podido combinarse con el cemento y que por las altas presiones se movilizan por las micropolaridades del hormigón.

De igual manera, si al hormigón se le somete a una deformación constante sostenida en el tiempo, la fuerza que se necesita para soportar dicha deformación disminuye constantemente por relajación del material.

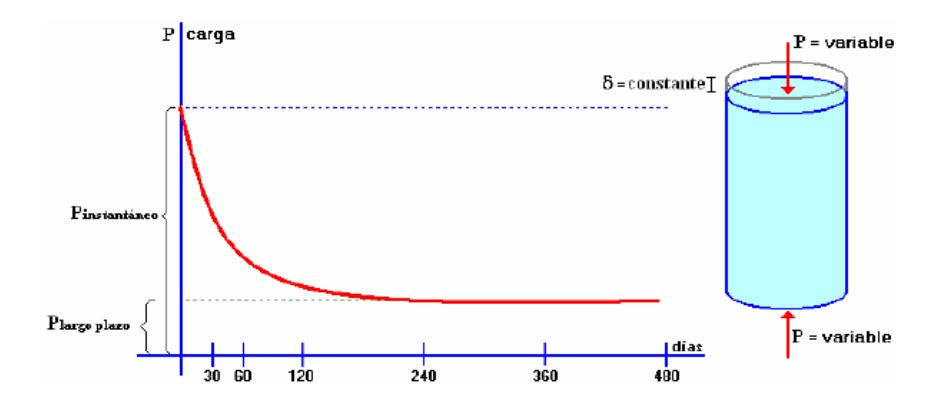


Figura 8 Cargas axiales en el hormigón bajo deformaciones axiales a largo plazo Fuente: (Marcelo Romo, 2008)

2.1.2. Acero

2.1.2.1. Propiedades mecánicas del acero

El acero es una aleación que se basa en el hierro que además posee carbono y pequeñas cantidades de otros elementos químicos metálicos; el carbono representa aproximadamente el 0.5% y 1.5% de la aleación.

Por la forma del acero estructural podemos clasificar al acero en tres grandes grupos:

- **Perfiles Estructurales.** Consisten en piezas de acero laminado cuya sección transversal puede tener la forma de I, H, T, canal o ángulo, entre otras.
- Barras. Las barras de acero estructural son barras conformadas con acero laminado, cuya sección transversal puede tener forma circular, hexagonal o cuadrada de diferentes tamaños.

- **Planchas.** - Son piezas planas de acero laminado conformadas en caliente.

El acero que es usado para estructuras es un material que aporta a la resistencia a tracción, lo que lo convierte en un material ideal parta combinarlo con el hormigón simple. Para determinar las propiedades mecánicas del acero es preciso realizar curvas de esfuerzo-deformación que varían dependiendo de su composición química y sus procesos de fabricación.

2.1.2.1.1. Comportamiento elástico

El rango de comportamiento elástico es el rango de esfuerzos desde la carga nula hasta cuando el acero se deforma por cargas de tracción, pero cuando se retira la carga vuelve a su geometría normal.

La curva de esfuerzo-deformación coincide con la recta que parte desde el punto de esfuerzo y deformación cero.

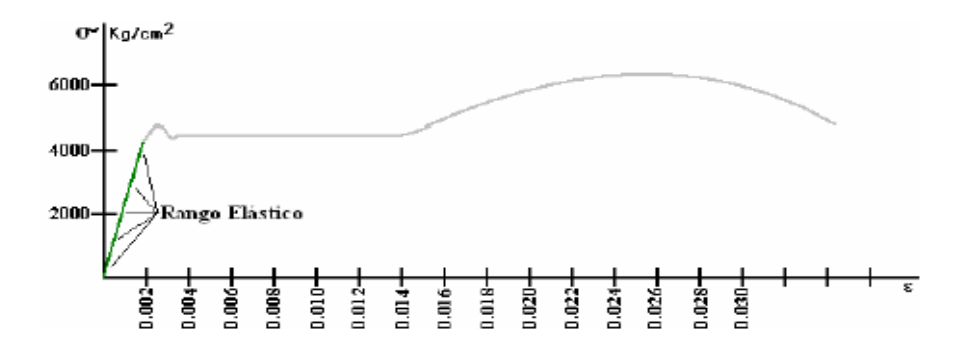


Figura 9 Comportamiento elástico del acero estructural Fuente: (Pedro Espinoza, 2014)

2.1.2.1.2. Esfuerzo de fluencia

Al esfuerzo de fluencia se lo representa como "Fy" y hace referencia al esfuerzo que realiza el acero para seguir deformándose sin la necesidad de aumentar las cargas de tracción.

En el diagrama de esfuerzo-deformación de los aceros tradicionales el esfuerzo de fluencia está representado con una recta horizontal que viene después del rango elástico del acero.

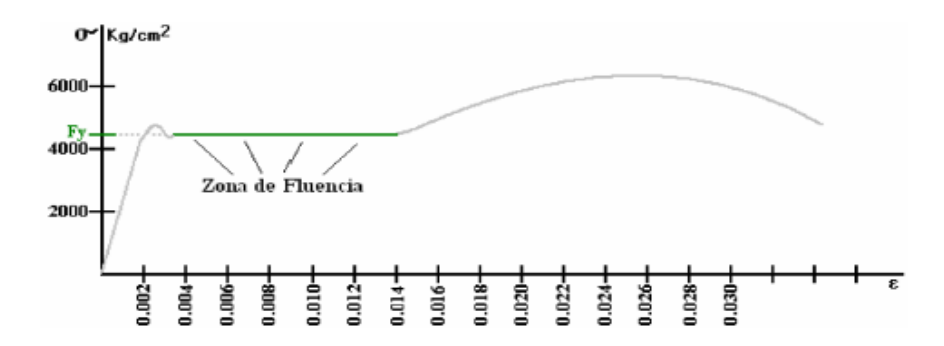


Figura 10 Esfuerzo de fluencia Fuente: (Pedro Espinoza, 2014)

2.1.2.1.3. Resistencia a la rotura

En el diagrama de esfuerzo-deformación, la resistencia a la rotura se encuentra representada como el punto con mayor ordenada. Es el mayor esfuerzo al que puede estar sometido el acero antes del fracaso del material y se lo representa como "Fr".

El esfuerzo de rotura siempre es mayor al esfuerzo de fluencia en todo tipo de acero estructural.

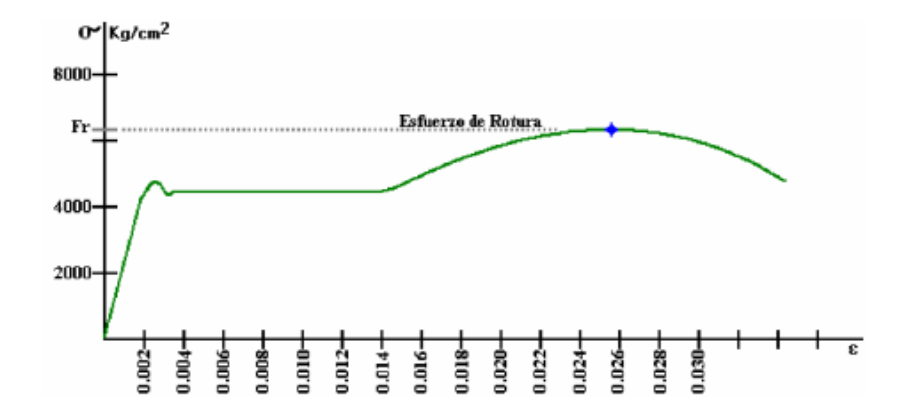


Figura 11 Resistencia a la rotura Fuente: (Pedro Espinoza, 2014)

2.1.2.1.4. Módulo de elasticidad

Al módulo de elasticidad del acero se lo representa como "Es" y es la pendiente de la recta que representa el rango elástico del acero. (ESPINOZA, 2014)

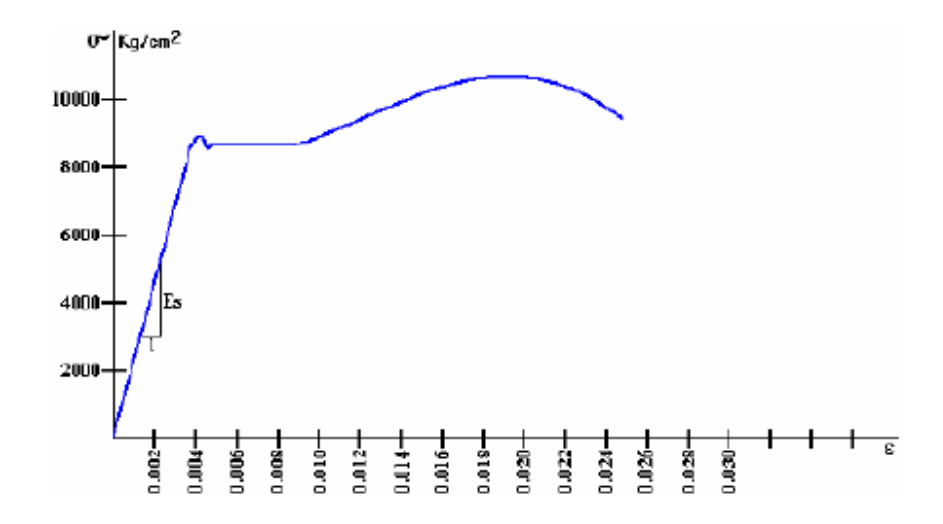


Figura 12 Módulo de elasticidad del acero

Fuente: (Pedro Espinoza, 2014)

El módulo de elasticidad del acero es el cociente entre el esfuerzo y la deformación unitaria en el rango elástico del mismo.

$$E_s = \frac{\sigma}{\varepsilon}$$

Se puede asumir que el módulo de elasticidad usado para el acero "Es" es igual a $2'100.000 \, \text{kg/cm}^2$.

2.1.2.1.5. Ductilidad

La ductilidad hace referencia a la capacidad del acero para resistir grandes deformaciones sin romperse, en los casos del acero usado para el hormigón armado la ductilidad supera a diez fácilmente, pero para los aceros de la alta resistencia usados para hormigón pre-esforzado la ductilidad es limitada y está entre tres y cinco. (ESPINOZA, 2014)

Para obtener la ductilidad del acero usamos la siguiente formulación:

$$D_d = \frac{\varepsilon_u}{\varepsilon_v}$$

En donde:

D_d = Índice de ductilidad por deformación

 ε_u = Deformación unitaria de rotura

 ε_y = Deformación unitaria de inicio de fluencia

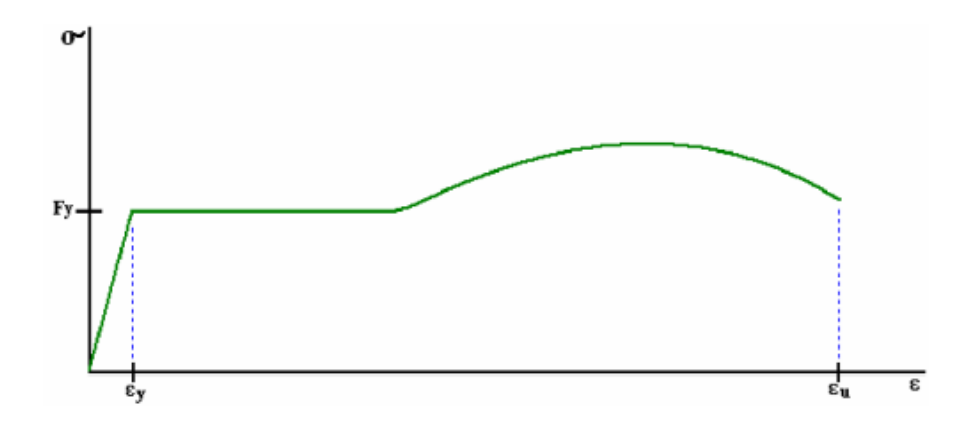


Figura 13 Ductilidad

Fuente: (Pedro Espinoza, 2014)

2.2. Características de la sección mixta

Entre las principales características de la sección mixta podemos dividirlas en tres grandes grupos:

- Características Estructurales
- Características Constructivas
- Características Estéticas

2.2.1. Características estructurales

Un elemento estructural de sección mixta está conformado por tres piezas importantes que son:

- Sección de hormigón
- Sección metálica
- Conectores

En el caso de los conectores pueden ser reemplazados por la adherencia acerohormigón.

El hormigón es un material que se deforma en conjunto con el acero, gracias a que posee algunos compuestos que permiten este proceso y son solidarios con la pieza metálica. La función de los conectores es evitar o controlar los deslizamientos relativos de estos materiales (acero y hormigón) en tanto que, el hormigón aparte de ayudar en distintas funciones estructurales, colabora en la zona comprimida aumentando la capacidad resistente de la sección mixta.

Entre los principales fenómenos estructurales que se presentan en las secciones mixtas podemos destacar la retracción del hormigón que consiste en el acortamiento del hormigón, coartado por el acero a través de la conexión que provoca esfuerzos en los dos materiales, con posibilidad de fisuras en zonas locales de la sección del hormigón.

Un fenómeno importante que podemos citar es la deformación diferida del hormigón por fluencia que quiere decir que las pérdidas de tensión causadas por el hormigón a lo largo del tiempo aumentan a las tensiones que corresponden al acero.

Los efectos térmicos que se producen en las columnas mixtas son fenómenos muy considerables a la hora de la construcción ya que por el parecido en los coeficientes de dilatación térmica del hormigón y el acero no se presentan esfuerzos internos apreciables por cambios uniformes de temperatura, pero la gran diferencia que existe entre las inercias de estos materiales origina fuertes diferencias y gradientes térmicos en las secciones mixtas, siendo la inercia térmica del acero muy pequeña y la del

hormigón grande. Por lo tanto se producen esfuerzos en las secciones parciales de acero y hormigón, como también se producen en los conectores.

Entre las características estructurales más importantes que presenta la construcción con secciones mixtas se pueden destacar las siguientes:

- Reducción del canto en dinteles
- Incremento de rigidez
- Mayor esbeltez de soportes
- Ahorro de acero

2.2.2. Características constructivas

Existen varias características ventajosas de la sección mixta en el campo de la construcción y también se puede destacar una reducción en el aspecto económico al final de una obra.

Los sistemas constructivos y posibilidades de materiales con secciones mixtas más importantes se presentan a continuación:

- La sección de hormigón puede ser fabricada in situ o puede ser prefabricada en otro lugar; además que puede utilizarse un hormigón en masa, armado o pretensado; el hormigón puede ser ligero; unido rígidamente o elásticamente al acero y la sección metálica puede quedarse exenta o recubierta total o parcialmente.
- La parte de acero que compone la sección mixta puede ser construida con cualquier tipo de elemento metálico como: perfiles laminados o plegados, tubos, chapas; puede ser soldada, atornillada o roblonada; puede estar dispuesta con alma llena, de celosía, o aligerada; puede incurvarse o pretensarse.
- Las conexiones en este tipo de secciones pueden ser realizadas antes o después del endurecimiento del hormigón y antes o después del pretensado del hormigón o el acero.

Si es que analizamos las secciones mixtas desde el punto de vista estructural, de cálculo, constructivo y económico sabremos que existen varias ventajas en comparación con los métodos tradicionales.

2.2.3. Características estéticas

Las estructuras mixtas ofrecen un sinnúmero de variaciones estéticas o arquitectónicas, ofreciendo la oportunidad de combinar distintos tipos de elementos compuestos. Muy aparte de conseguir dimensiones reducidas en las vigas se pueden construir mayores vanos, losas ligeras, columnas esbeltas y nos dan la oportunidad de tener más flexibilidad y oportunidades para el diseño. (SILVA, 2007)

La construcción mixta nos ofrece la posibilidad de montar las piezas rápidamente y disminuir tiempos de construcción siendo una ventaja económica muy importante.

Una de las funcionalidades más importantes de las secciones mixtas es que estas estructuras se emplean como sistemas de protección contra el fuego.

2.3. Principales ventajas y desventajas

2.3.1. Ventajas de las columnas mixtas

Durante mucho tiempo atrás se utilizaba comúnmente el hormigón como un material que ayudaba a la resistencia contra el fuego y la corrosión de las estructuras; sabiendo que desde hace tiempo se usaba conjuntamente el hormigón con perfiles metálicos nunca se los analizo desde el punto de vista estructural sino desde hace unos 20 o 30 años atrás. (MC, 2012)

Las columnas mixtas pueden ser utilizadas en edificaciones altas y bajas, al nombrar edificios bajos comúnmente son usadas para bodegas, estacionamientos, etcétera con el objetivo de mejorar la apariencia, soportar el fuego, evitar la corrosión y proteger de vehículos. Aprovechando que este tipo de estructuras están rellenas de hormigón es preciso calcular las columnas como columnas mixtas y así poder aprovechar mejor

las propiedades estructurales que nos brinda tanto el hormigón como el acero, con el fin de optimizar las secciones.

En las edificaciones de gran altura, las columnas mixtas poseen secciones grandes, pero considerablemente menores a las secciones de una columna formada con hormigón armado o con perfiles de acero. Los ahorros de secciones que se logran muy aparte de ser una ventaja económica viene a ser un ahorro de espacio, obteniendo así un ambiente más extenso en cada piso, las secciones compuestas disminuyen considerablemente el peso de la estructura lo que hace que las cimentaciones ya no sean tan grandes. Para edificios muy altos se pueden usar columnas compuestas que estén colocadas muy juntas y conectadas con vigas de fachada, esto servirá para resistir cargas laterales. En ciertas ocasiones se colocan columnas mixtas grandes en las esquinas de los edificios altos para contrarrestar los momentos laterales.

Usar secciones compuestas para columnas es usar los beneficios de cada material al máximo nivel, por ejemplo, el concreto ayuda a reducir las deflexiones laterales y el acero hace que una estructura sea ligera, resistente, con pequeñas dimensiones y tenga menor peso.

2.3.2. Desventajas de las columnas mixtas

Una de las principales desventajas del uso de secciones mixtas es que no se siempre se logra un trabajo conjunto entre dos materiales distintos, por lo que se requiere de un control minucioso al momento de la construcción, haciendo el uso algunas veces de uniones y conectores para que puedan trabajar como se busca.

Cuando se realiza el rellenado del hormigón en las columnas se debe controlar el vertido en capas entre 25cm. – 30cm. y garantizar que el relleno sea el correcto mediante golpes con martillo y según el sonido que emita el golpe del martillo. (MC, 2012)

3. CAPÍTULO III MODELACIÓN DE LA SUPERESTRUCTURA

3.1. Uso de un programa de computación especializado

Para la modelación de la superestructura se usó el programa informático CYPE Ingenieros que es un software técnico para los profesionales de la Ingeniería, Arquitectura y Construcción. CYPE posee una importante actividad en el campo del cálculo de estructuras, el cual fue de mucha ayuda para la realización de este trabajo de titulación.

3.2. Modelación y agrupación de cargas

Para proceder a la comparación entre el uso de columnas mixtas y el uso de columnas de hormigón armado (método tradicional), nos disponemos a la modelación de cuatro edificaciones tipo, las cuales poseen cuatro columnas en el eje "X" y tres en el eje "Y"; las estructuras serán de dos, tres, cuatro y cinco pisos.

Para todos los diseños tomaremos en cuenta el Capítulo 1 Cargas y Materiales de la Norma Ecuatoriana de la Construcción y la localización que tendremos para las edificaciones será la ciudad de Cuenca.

3.3. Modelación estructural con columnas mixtas

A continuación, se muestran los resultados de una sola columna con todos los cálculos necesarios para que una edificación sea considerada segura y habitable, el cálculo de las demás columnas será presentado en formato digital.



Figura 14 Estructura de dos pisos con Columnas Mixtas Fuente: (CYPE Ingenieros, 2015)

1.- N+6 (3 - 6 M)

Datos del pilar		
	Geometría	
	Dimensiones	: 25x25 cm
92	Perfil	: 250x250x4
	Tramo	: 3.000/6.000 m
	Altura libre	: 2.60 m
	Recubrimiento geométrico : 4.0 cm	
	Tamaño máximo de agregado: 15 mm	
25	Materiales	Longitud de pandeo
	Hormigón : f'c=240	Plano ZX : 2.60 m
	Acero : A36	Plano ZY : 2.60 m

Limitaciones del Material (ANSI/AISC 360-10 (LRFD), I1.3(1))

Para la determinación de la resistencia disponible, el concreto debe tener una resistencia de compresión f'c no menor que 215 kgf/cm² (21 MPa) ni mayor que 715 kgf/cm² (70 MPa) en concreto de peso normal.

f'c: Resistencia a compresión especificada del concreto f'c: 23.54 MPa

Ramírez Cabrera

Limitaciones del Material (ANSI/AISC 360-10 (LRFD), I1.3(2))

La tensión de fluencia mínima especificada del acero estructural y de las barras de refuerzo, usada en el cálculo de la resistencia de una columna compuesta, no debe exceder de 5355 kgf/cm² (525 MPa).

Fy: Tensión mínima de fluencia especificado para el tipo de acero empleado $F_y: 250.00 \text{ MPa} \checkmark$

Límites (ANSI/AISC 360-10 (LRFD), I2.2a)

Para miembros compuestos rellenos, el área transversal de la sección de acero deberá contener por lo menos un 1% del área total de sección compuesta.

 $3936 \text{ mm}^2 \ge 625 \text{ mm}^2 \checkmark$

Área de la sección del núcleo de acero: 3936 mm²

Sección compuesta total : 62500 mm²

Resistencia a compresión (ANSI/AISC 360-10 (LRFD), I2.2b)

Los miembros compuestos rellenos deberán ser clasificados para pandeo local de acuerdo con la Sección I1.4.

II.4. Para compresión, las secciones compuestas rellenas se clasifican como compactas, no compactas o esbeltas.

Paredes de secciones tubulares rectangulares (HSS) y de cajón de espesor uniforme

Compacto

 $60.50 \le 63.92$

donde

 $\lambda_{\mathbf{p}}:63.92$

b: Distancia libre entre almas menos las esquinas redondeadas de cada lado. Cuando la esquina redondeada no se conoce, b y h se tomarán como la dimensión exterior correspondiente menos tres veces el espesor (ANSI/AISC 360-10 (LRFD), B4.1b(d)).

B: 242.0 mm

t: El espesor de diseño t, en los cálculos que involucran el espesor de secciones tubulares (HSS), será igual a 0,93 veces el espesor nominal en secciones HSS soldadas mediante resistencia eléctrica (ERW) e igual al espesor nominal para secciones HSS soldadas mediante arco sumergido (SAW) (ANSI/AISC 360-10 (LRFD), B4.2).

t: 4.0 mm

E: Módulo de elasticidad del acero

E : 200000 MPa

 $\mathbf{F}_{\mathbf{y}}$: Tensión de fluencia mínima especificada de la sección de acero $\mathbf{F}_{\mathbf{y}} : 250.00 \text{ MPa}$

La resistencia de compresión disponible de miembros compuestos rellenos con doble simetría cargados axialmente deberá ser determinada para el estado límite de pandeo por flexión basado en Sección I2.1b con las siguientes modificaciones:

1540.04 kN $^{3} \ge 63.48$ kN \checkmark

La resistencia requerida axial por compresión P_r se produce en el punto 'Pie' para la combinación de carga LRFD $1.2 \cdot PP + 1.2 \cdot CM + 1.6 \cdot Qa$.

P_r: Resistencia requerida axial por compresión según combinaciones de carga LRFD.

P_r : 63.48 kN

Pc: Resistencia de diseño de compresión

 $P_c : 1540.04 \text{ kN}$

 F_c : Factor de resistencia en columnas compuestas cargadas axialmente. F_c : 0.75

(a) Donde $P_{no}/P_e \le 2.25$

 $P_n : 2053.38 \text{ kN}$

donde

Pe: Carga crítica de pandeo elástico

Pe : 18503.46 kN

EI_{eff}: Rigidez efectiva de la sección compuesta

 $EI_{eff,x}: 12673.60 \text{ kN} \cdot \text{m}^2$

 $EI_{eff,y}$: 12673.60 kN·m²

Donde

Coeficiente para el cálculo de la rigidez efectiva de miembros compuestos rellenos en compresión

 $C_3 : 0.73$

 A_c : Área de concreto. A_c : 58564 mm²

 A_s : Área de la sección de acero A_s : 3936 mm²

 \mathbf{E}_{s} : Módulo de elasticidad del acero \mathbf{E}_{s} : 200000 MPa

E_c: Módulo de elasticidad del concreto. Para concreto de densidad normal, E_c puede tomarse como (ACI 318M-08,

8.5.1): $E_c : 22805$ MPa

 I_c : Momento de inercia de la sección de concreto sobre el eje $I_{c,x}$: $28581 \cdot 10^4$ mm⁴

neutro elástico de la sección compuesta $I_{c,y}$: $28581 \cdot 10^4 \text{ mm}^4$

 I_s : Momento de inercia del perfil de acero sobre el eje neutro $I_{s,x}$: $3971 \cdot 10^4$ mm⁴

elástico de la sección compuesta $I_{s,y} : \overline{3971 \cdot 10^4} \text{ mm}^4$

 I_{sr} : Momento de inercia de las barras de refuerzo sobre el eje $I_{sr,x}$: 0 mm⁴

neutro elástico de la sección compuesta ${f I_{sr,y}}$: ${f 0}$ ${f mm}^4$

 \mathbf{K} : Factor de longitud efectiva determinada de acuerdo con el $\mathbf{K}_{\mathbf{x}}$: 1.00

Capítulo C $\mathbf{K}_{\mathbf{y}}$: $\overline{1.00}$

L: Longitud no arriostrada lateralmente del miembro L : 2600 mm

(a) Para secciones compactas

Pno : 2156.01 kN

Donde

	Pp	: 2156.01	kN
C2: 0,85 para secciones rectangulares y 0,95 para secciones			
circulares	\mathbb{C}_2	: 0.85	MPa
F _y : Tensión de fluencia mínima especificada de la sección de			
acero	$\mathbf{F}_{\mathbf{y}}$: 250.00	MPa
f'c: Resistencia a compresión especificada del concreto	f'c	: 23.54	MPa
A _c : Área de concreto.	$\mathbf{A}_{\mathbf{c}}$: 58564	mm²
A _s : Área de la sección de acero	$\mathbf{A_s}$: 3936	mm²
A _{sr} : Área de barras de refuerzo continuas.	$\mathbf{A}_{\mathbf{sr}}$: 0	mm²
E _s : Módulo de elasticidad del acero	$\mathbf{E_s}$: 200000	MPa
Ec: Módulo de elasticidad del concreto. Para concreto de			
densidad normal, E _c puede tomarse como (ACI 318M-08,			
8.5.1):	$\mathbf{E}_{\mathbf{c}}$: 22805	MPa

Resistencia a tracción (ANSI/AISC 360-10 (LRFD), I2.2c)

La comprobación no procede, ya que no hay axial de tracción.

FLEXIÓN. Miembros compuestos rellenos (eje x) (ANSI/AISC 360-10 (LRFD), I3.4)

Las secciones compuestas rellenas deberán ser clasificadas para pandeo local de acuerdo con la Sección I1.4.

II.4. Para flexión, las secciones compuestas rellenas son clasificadas como compactas, no compactas o esbeltas.

Almas de secciones tubulares rectangulares (HSS) y de cajón de espesor uniforme

Compacto

 $60.50 \le 84.85$

donde

 $\lambda_{\mathbf{p}}:84.85$

h: Luz libre entre las alas menos las esquinas redondeadas a cada
lado. Cuando la esquina redondeada no se conoce, b y h se
tomarán como la dimensión exterior correspondiente menos tres
veces el espesor (ANSI/AISC 360-10 (LRFD), B4.1b(d)).
h : 242.0 mm

t: El espesor de diseño t, en los cálculos que involucran el espesor de secciones tubulares (HSS), será igual a 0,93 veces el espesor nominal en secciones HSS soldadas mediante resistencia eléctrica (ERW) e igual al espesor nominal para secciones HSS soldadas mediante arco sumergido (SAW) (ANSI/AISC 360-10 (LRFD), B4.2).

t : 4.0 mm

E: Módulo de elasticidad del acero

E: 200000 MPa

F_y: Tensión de fluencia mínima especificada de la sección de

acero

 F_v : 250.00 MPa

La resistencia a flexión disponible de miembros compuestos rellenos debe ser determinada como sigue:

 $94.84 \text{ kN} \cdot \text{m} \geq 26.28 \text{ kN} \cdot \text{m} \checkmark$

La resistencia a flexión requerida M_r, se produce en el punto 'Pie' para la combinación de carga LRFD 1.2·PP+1.2·CM+0.5·Qa+0.3·SX+SY.

Donde

M_r: Resistencia de flexión requerida usando las combinaciones

de carga LRFD. $M_r : 26.28 \text{ kN} \cdot \text{m}$

M_c: Resistencia de flexión de diseño $M_c: 94.84 \text{ kN} \cdot \text{m}$

F_b: Factor de resistencia por flexión. $\mathbf{F_b} : 0.90$ La resistencia nominal a flexión, M_n , deberá ser determinada como sigue:

(a) Para secciones compactas

 $M_n : 105.38 \text{ kN} \cdot \text{m}$

Donde

 $\mathbf{M_p}$: Momento correspondiente a la distribución de tensiones plásticas en la sección transversal del miembro compuesto $\mathbf{M_p}$: 105.38 kN·m

FLEXIÓN. Miembros compuestos rellenos (eje y) (ANSI/AISC 360-10 (LRFD), 13.4)

Las secciones compuestas rellenas deberán ser clasificadas para pandeo local de acuerdo con la Sección I1.4.

II.4. Para flexión, las secciones compuestas rellenas son clasificadas como compactas, no compactas o esbeltas.

Almas de secciones tubulares rectangulares (HSS) y de cajón de espesor uniforme

Compacto

 $60.50 \le 84.85$

donde

 $\lambda_{\rm p}: 84.85$

h: Luz libre entre las alas menos las esquinas redondeadas a cada lado. Cuando la esquina redondeada no se conoce, b y h se tomarán como la dimensión exterior correspondiente menos tres veces el espesor (ANSI/AISC 360-10 (LRFD), B4.1b(d)).

h : 242.0 mm

t: El espesor de diseño t, en los cálculos que involucran el espesor de secciones tubulares (HSS), será igual a 0,93 veces el espesor nominal en secciones HSS soldadas mediante resistencia eléctrica (ERW) e igual al espesor nominal para secciones HSS soldadas mediante arco sumergido (SAW) (ANSI/AISC 360-10 (LRFD), B4.2).

t : 4.0 mm

E: Módulo de elasticidad del acero

E: 200000 MPa

F_y: Tensión de fluencia mínima especificada de la sección de acero

 F_y : 250.00 MPa

La resistencia a flexión disponible de miembros compuestos rellenos debe ser determinada como sigue:

94.84 kN·m \geq 35.76 kN·m \checkmark

La resistencia a flexión requerida M_r, se produce en el punto 'Pie' para la combinación de carga LRFD 1.2·PP+1.2·CM+0.5·Qa+SX+0.3·SY.

donde

M_r: Resistencia de flexión requerida usando las combinaciones

de carga LRFD. $\mathbf{M_r}: 35.76 \quad kN \cdot m$

 $\mathbf{M_c}$: Resistencia de flexión de diseño $\mathbf{M_c}$: 94.84 kN·m

 $\mathbf{F_b}$: Factor de resistencia por flexión. $\mathbf{F_b}: 0.90$

La resistencia nominal a flexión, M_n , deberá ser determinada como sigue:

(a) Para secciones compactas

 $M_n: 105.38 \text{ kN} \cdot \text{m}$

Donde

 $\mathbf{M_p}$: Momento correspondiente a la distribución de tensiones plásticas en la sección transversal del miembro compuesto $\mathbf{M_p}$: 105.38 kN·m

CORTE. Miembros Compuestos Embebidos y Rellenos (eje x) (ANSI/AISC 360-10 (LRFD), I4.1)

La resistencia de diseño al corte, F_v V_n , debe ser determinada basada en uno de los casos a continuación:

(a) La resistencia disponible al corte de la sección de acero sola es especificada en el Capítulo G.

 $261.36 \text{ kN} \ge 22.08 \text{ kN} \checkmark$

La resistencia requerida de corte V_r se produce en el punto 'Pie' para la combinación de carga LRFD $1.2 \cdot PP + 1.2 \cdot CM + 0.5 \cdot Qa + SX + 0.3 \cdot SY$.

donde

 V_r : Resistencia requerida de corte usando las combinaciones de carga LRFD $V_r: 22.08 \quad \text{kN}$ V_c : Resistencia de corte de diseño, determinada de acuerdo con Capítulo G. $V_c: 261.36 \quad \text{kN}$

G.1: Para todas las disposiciones en este capítulo, excepto la Sección G2.1(a):

 $\mathbf{F_{v}}$: Factor de resistencia por corte. $\mathbf{F_{v}}: 0.90$

 $\mathbf{V_n}$: La resistencia de corte nominal, $\mathbf{V_n}$, de tubos rectangulares y cuadrados debe ser determinada usando las disposiciones de la

Sección G2.1 con $A_w = 2 \cdot h \cdot t$ (ANSI/AISC 360-10 (LRFD), G5): $V_n : 290.40$ kN

donde

 $\mathbf{F}_{\mathbf{y}}$: Tensión de fluencia mínima especificada de la sección de acero $\mathbf{F}_{\mathbf{v}}: 250.00 \; \mathrm{MPa}$

 $A_w: 1936 \text{ mm}^2$

h: El ancho resistente a la fuerza de corte, tomado como la distancia libre entre alas menos el radio de esquina interior en cada lado. Si el radio de esquina es desconocido, h debe tomarse como la respectiva dimensión exterior menos tres veces el espesor.

h : 242.0 mm

t: El espesor de diseño t, en los cálculos que involucran el espesor de secciones tubulares (HSS), será igual a 0,93 veces el espesor nominal en secciones HSS soldadas mediante resistencia eléctrica (ERW) e igual al espesor nominal para secciones HSS soldadas mediante arco sumergido (SAW) (ANSI/AISC 360-10 (LRFD), B4.2).

t : 4.0 mm

Cv: Coeficiente de corte del alma

 $C_{v}: 1.00$

Sección G.2.1(b): Para almas de todos los otros perfiles de simetría doble o simple y canales, excepto tubos circulares, el coeficiente de corte del alma, C_{ν} , se determina de la siguiente manera:

(i) Donde

60.50 £ 69.57

 $\mathbf{t_w}$: Espesor del alma $\mathbf{t_w}$: 4.0 mm

 $t_{\rm w}=t\,$

 $\mathbf{k}_{\mathbf{v}}$: Coeficiente de pandeo por corte del alma $\mathbf{k}_{\mathbf{v}}: 5.00$

E: Módulo de elasticidad del acero E: 200000 MPa

F_y: Tensión de fluencia mínima especificada de la sección de

acero $\mathbf{F_y}: 250.00 \text{ MPa}$

CORTE. Miembros Compuestos Embebidos y Rellenos (eje y) (ANSI/AISC 360-10 (LRFD), I4.1)

La resistencia de diseño al corte, F_v V_n , debe ser determinada basada en uno de los casos a continuación:

(a) La resistencia disponible al corte de la sección de acero sola es especificada en el Capítulo G.

 $261.36 \text{ kN} \ge 15.68 \text{ kN} \checkmark$

La resistencia requerida de corte V_r se produce en el punto 'Pie' para la combinación de carga LRFD $1.2 \cdot PP + 1.2 \cdot CM + 0.5 \cdot Qa + 0.3 \cdot SX + SY$.

donde

 $\mathbf{V}_{\mathbf{r}}$: Resistencia requerida de corte usando las combinaciones de

carga LRFD $V_r:15.68$ kN

 \mathbf{V}_{c} : Resistencia de corte de diseño, determinada de acuerdo con

Capítulo G. $V_c: 261.36 \, \text{kN}$

G.1: Para todas las disposiciones en este capítulo, excepto la Sección G2.1(a):

F_v: Factor de resistencia por corte.

 $\mathbf{F_v}: 0.90$

 V_n : La resistencia de corte nominal, V_n , de tubos rectangulares y cuadrados debe ser determinada usando las disposiciones de la

Sección G2.1 con $A_w = 2 \cdot h \cdot t$ (ANSI/AISC 360-10 (LRFD), G5): $V_n : 290.40$ kN

donde

F_y: Tensión de fluencia mínima especificada de la sección de acero

Fy: 250.00 MPa

 $A_w : 1936 \text{ mm}^2$

h: El ancho resistente a la fuerza de corte, tomado como la distancia libre entre alas menos el radio de esquina interior en cada lado. Si el radio de esquina es desconocido, h debe tomarse como la respectiva dimensión exterior menos tres veces el espesor.

H: 242.0 mm

t: El espesor de diseño t, en los cálculos que involucran el espesor de secciones tubulares (HSS), será igual a 0,93 veces el espesor nominal en secciones HSS soldadas mediante resistencia eléctrica (ERW) e igual al espesor nominal para secciones HSS soldadas mediante arco sumergido (SAW) (ANSI/AISC 360-10 (LRFD), B4.2).

T: 4.0 mm

Cv: Coeficiente de corte del alma

 $C_{v}: 1.00$

Sección G.2.1(b): Para almas de todos los otros perfiles de simetría doble o simple y canales, excepto tubos circulares, el coeficiente de corte del alma, C_{ν} , se determina de la siguiente manera:

(i) Donde

$60.50 \le 69.57$

 $\mathbf{t}_{\mathbf{w}}$: Espesor del alma $\mathbf{t}_{\mathbf{w}}$: 4.0 mm

 $t_{\rm w} = t$

 $\mathbf{k}_{\mathbf{v}}$: Coeficiente de pandeo por corte del alma $\mathbf{k}_{\mathbf{v}}: 5.00$

E: Módulo de elasticidad del acero E: 200000 MPa

F_y: Tensión de fluencia mínima especificada de la sección de

acero $\mathbf{F_y}: 250.00 \text{ MPa}$

Combinación de carga axial y flexión (ANSI/AISC 360-10 (LRFD), I5)

La interacción entre fuerza axial y flexión debe estar basada en las ecuaciones de interacción de la Sección H1.1.

H1.1 Miembros con Simetría Doble y Simple Solicitados a Flexión y Compresión

 $0.58 \le 1.00$

Las resistencias requeridas se producen en el punto 'Pie' para la combinación de carga LRFD 1.2·PP+1.2·CM+0.5·Qa+SX+0.3·SY.

(b) Donde $P_r/P_c < 0.2$

donde

Pr: Resistencia de compresión axial requerida usando las

 P_c : F_cP_n = Resistencia de diseño de compresión P_c : 1540.04 kN

M_r: Resistencia de flexión requerida usando las combinaciones

de carga LRFD. M_{rx} : 18.29 kN⋅m

> M_{rv} : 34.58 kN⋅m

 $\mathbf{M_c}$: $F_b \mathbf{M_n} = \text{Resistencia de flexión de diseño}$

 $M_{cx}: 94.84$ kN⋅m

 $M_{cy}: 94.84$ kN⋅m

Miembros con Simetría Doble y Simple Sujetos a Flexión y Tracción (ANSI/AISC 360-10 (LRFD), H1.2)

La comprobación no procede, ya que no hay axil de tracción.

Resistencia Torsional de Secciones Tubulares Redondas y Rectangulares (ANSI/AISC 360-10 (LRFD), H3.1)

La resistencia torsional de diseño, F_TT_n, para secciones tubulares redondas o rectangulares, de acuerdo con los estados límites de fluencia torsional y pandeo torsional, debe ser determinada como sigue:

 $65.36 \text{ kN} \cdot \text{m} \ge 0.26 \text{ kN} \cdot \text{m}$

La resistencia torsional requerida T_r se produce en el punto 'Pie' para la combinación de carga LRFD 1.2·PP+1.2·CM+0.5·Qa-0.3·SX-SY.

donde

Tr: Resistencia torsional requerida usando las combinaciones de

 $T_r: 0.26 \text{ kN} \cdot \text{m}$ carga LRFD

T_c: Resistencia torsional de diseño Tc: 65.36 kN·m

 $\mathbf{F}_{\mathbf{T}}$: Factor de resistencia por torsión. $\mathbf{F}_{\mathbf{T}}$: 0.90

 T_n : Resistencia torsional nominal T_n : 72.62 kN·m

donde C es la constante torsional para secciones tubulares. C: 484128 mm³

(i) Donde 60.50 £ 69.30

F_{cr}: 150.00 MPa

mm

donde

h: Ancho plano o lado de mayor longitud tal como se define en
 Sección B4.1b(d)
 H: 242.0 mm

t: El espesor de diseño t, en los cálculos que involucran el espesor de secciones tubulares (HSS), será igual a 0,93 veces el espesor nominal en secciones HSS soldadas mediante resistencia eléctrica (ERW) e igual al espesor nominal para secciones HSS soldadas mediante arco sumergido (SAW) (ANSI/AISC 360-10 (LRFD), B4.2).

T: 4.0

E: Módulo de elasticidad del acero E: 200000 MPa

 $\mathbf{F_y}$: Tensión de fluencia mínima especificada de la sección de acero $\mathbf{F_y}$: 250.00 MPa

Ramírez Cabrera

46

Secciones Tubulares solicitadas a Combinación de Torsión, Corte, Flexión y Carga Axial (ANSI/AISC 360-10 (LRFD), H3.2)

Cuando la resistencia torsional requerida, T_r, es menor o igual que el 20% de la

resistencia torsional disponible, T_c, la interacción de torsión, corte, flexión y/o carga

axial para secciones tubulares debe ser determinada de acuerdo con la Sección H1 y

los efectos torsionales deben ser despreciados.

 $0.26 \text{ kN} \cdot \text{m} \le 13.07 \text{ kN} \cdot \text{m}$

La resistencia torsional requerida T_r se produce en el punto 'Pie' para la combinación

de carga LRFD 1.2·PP+1.2·CM+0.5·Qa-0.3·SX-SY.

donde

Tr: Resistencia torsional requerida usando las combinaciones de

carga LRFD

 $T_r: 0.26 \text{ kN} \cdot \text{m}$

T_c: Resistencia torsional de diseño

T_c: 65.36 kN⋅m

Limitaciones Ancho-Espesor de Secciones de Acero y Compuestas (ANSI/AISC

341-10 (LRFD), D1.1b)

Para elementos designados como elementos de ductilidad moderada, las relaciones

ancho-espesor de los elementos a compresión no deben exceder de las relaciones

límite ancho-espesor, λ_{hm} , de la Tabla D1.1.

Paredes de elementos compuestos rellenos rectangulares

Elementos de Ductilidad Moderada

 $60.50 \le 63.92$

: 242.0 mm

 λ_{hm} : 63.92

b: Ancho del elemento rigidizado en compresión

t: El espesor de diseño t, en los cálculos que involucran el espesor de secciones tubulares (HSS), será igual a 0,93 veces el espesor nominal en secciones HSS soldadas mediante resistencia eléctrica (ERW) e igual al espesor nominal para secciones HSS soldadas mediante arco sumergido (SAW) (ANSI/AISC 360-10 (LRFD), B4.2).

E: Módulo de elasticidad del acero

 $\mathbf{F}_{\mathbf{y}}$: Tensión de fluencia mínima especificada de la sección de acero

: 4.0

mm

E : 200000 MPa

 $\mathbf{F_y}$: 250.00 MPa

2.- N+3 (0 - 3 M)

Datos del pilar			
	Geometría		
	Dimensiones	: 25x25 cm	
92	Perfil	: 250x250x4	
	Tramo	: 0.000/3.000 m	
	Altura libre	: 2.60 m	
	Recubrimiento geométric	o : 4.0 cm	
	Tamaño máximo de agregado : 15 mm		
25	Materiales	Longitud de pandeo	
	Hormigón : f'c=240	Plano ZX : 2.60 m	
	Acero : A36	Plano ZY: 2.60 m	

Limitaciones del Material (ANSI/AISC 360-10 (LRFD), I1.3(1))

Para la determinación de la resistencia disponible, el concreto debe tener una resistencia de compresión f'c no menor que 215 kgf/cm² (21 MPa) ni mayor que 715 kgf/cm² (70 MPa) en concreto de peso normal.

f'c: Resistencia a compresión especificada del concreto **f**'c: 23.54 MPa ✓

Ramírez Cabrera 49

Limitaciones del Material (ANSI/AISC 360-10 (LRFD), I1.3(2))

La tensión de fluencia mínima especificada del acero estructural y de las barras de refuerzo, usada en el cálculo de la resistencia de una columna compuesta, no debe exceder de 5355 kgf/cm² (525 MPa).

Fy: Tensión mínima de fluencia especificado para el tipo de acero empleado F_y : 250.00 MPa \checkmark

Límites (ANSI/AISC 360-10 (LRFD), I2.2a)

Para miembros compuestos rellenos, el área transversal de la sección de acero deberá contener por lo menos un 1% del área total de sección compuesta.

 $3936 \text{ mm}^2 \ge 625 \text{ mm}^2 \checkmark$

Área de la sección del núcleo de acero: 3936 mm²

: 62500 mm² Sección compuesta total

Resistencia a compresión (ANSI/AISC 360-10 (LRFD), I2.2b)

Los miembros compuestos rellenos deberán ser clasificados para pandeo local de acuerdo con la Sección I1.4.

II.4. Para compresión, las secciones compuestas rellenas se clasifican como compactas, no compactas o esbeltas.

Paredes de secciones tubulares rectangulares (HSS) y de cajón de espesor uniforme

Compacto

 $60.50 \le 63.92$

donde

 $_{\lambda_{\boldsymbol{p}}}:63.92$

b: Distancia libre entre almas menos las esquinas redondeadas de cada lado. Cuando la esquina redondeada no se conoce, b y h se tomarán como la dimensión exterior correspondiente menos tres veces el espesor (ANSI/AISC 360-10 (LRFD), B4.1b(d)).

b : 242.0 mm

t: El espesor de diseño t, en los cálculos que involucran el espesor de secciones tubulares (HSS), será igual a 0,93 veces el espesor nominal en secciones HSS soldadas mediante resistencia eléctrica (ERW) e igual al espesor nominal para secciones HSS soldadas mediante arco sumergido (SAW) (ANSI/AISC 360-10 (LRFD), B4.2).

t : 4.0 mm

E: Módulo de elasticidad del acero

E : 200000 MPa

F_y: Tensión de fluencia mínima especificada de la sección de acero

 F_y : 250.00 MPa

La resistencia de compresión disponible de miembros compuestos rellenos con doble simetría cargados axialmente deberá ser determinada para el estado límite de pandeo por flexión basado en Sección I2.1b con las siguientes modificaciones:

La resistencia requerida axial por compresión P_r se produce en el punto 'Pie' para la combinación de carga LRFD 1.2·PP+1.2·CM+1.6·Qa.

Pr: Resistencia requerida axial por compresión según

combinaciones de carga LRFD.

 $\mathbf{P_r}$: 135.52

Pc: Resistencia de diseño de compresión

 $\mathbf{P_c}$: 1540.04 kN

F_c: Factor de resistencia en columnas compuestas

cargadas axialmente.

 $\mathbf{F_c}$: 0.75

(a) Donde $P_{no}/P_e \le 2.25$

 $\mathbf{P}_{\mathbf{n}}$: 2053.38 kN

kN

Donde

Pe: Carga crítica de pandeo elástico.

Pe

: 18503.46 kN

EIeff: Rigidez efectiva de la sección compuesta

 $EI_{eff,x}$: 12673.60 kN·m²

 $EI_{eff,y}$: 12673.60 kN·m²

Donde

Coeficiente para el cálculo de la rigidez efectiva de miembros compuestos rellenos en compresión

 C_3 : 0.73

 $P_p : 2156.01 \text{ kN}$

A _c : Área de concreto.	$\mathbf{A}_{\mathbf{c}}$: <i>58564</i>	mm²
A _s : Área de la sección de acero	A_s	: 3936	mm²
Es: Módulo de elasticidad del acero	$\mathbf{E}_{\mathbf{s}}$: 200000	MPa
Ec: Módulo de elasticidad del concreto. Para concreto de			-
densidad normal, E _c puede tomarse como (ACI 318M-08,			
8.5.1):	$\mathbf{E}_{\mathbf{c}}$: 22805	MPa
			_
f'c: Resistencia a compresión especificada del concreto	f'c	: 23.54	MPa
Ic: Momento de inercia de la sección de concreto sobre el eje	$I_{c,x}$: 28581·10 ⁴	mm ⁴
neutro elástico de la sección compuesta	$I_{c,y}$: 28581·10 ⁴	mm ⁴
Is: Momento de inercia del perfil de acero sobre el eje neutro	$I_{s,x}$: 3971·10 ⁴	mm ⁴
elástico de la sección compuesta	$I_{s,y}$: 3971·10 ⁴	mm ⁴
I _{sr} : Momento de inercia de las barras de refuerzo sobre el eje	$I_{sr,x}$: 0	mm ⁴
neutro elástico de la sección compuesta	$I_{sr,y}$: 0	mm ⁴
K: Factor de longitud efectiva determinada de acuerdo con el	Kx	: 1.00	-
Capítulo C	Ky	: 1.00	-
L: Longitud no arriostrada lateralmente del miembro	L	: 2600	mm
(a) Para secciones compactas			_
	Pno	: 2156.01	kN
			-
Donde			

C2: 0,85 para secciones rectangulares y 0,95 para secciones	S		
circulares	\mathbb{C}_2	: 0.85	MPa
F _y : Tensión de fluencia mínima especificada de la sección de	e		_
acero	$\mathbf{F}_{\mathbf{y}}$: 250.00	MPa
f'c: Resistencia a compresión especificada del concreto	f'c	: 23.54	MPa
A _c : Área de concreto.	$\mathbf{A}_{\mathbf{c}}$: 58564	mm²
A _s : Área de la sección de acero	$\mathbf{A_s}$: 3936	mm²
A_{sr} : Área de barras de refuerzo continuas.	$\mathbf{A}_{\mathbf{sr}}$: 0	mm²
Es: Módulo de elasticidad del acero	$\mathbf{E}_{\mathbf{s}}$: 200000	MPa
E _c : Módulo de elasticidad del concreto. Para concreto de	e		_
densidad normal, Ec puede tomarse como (ACI 318M-08	,		
8.5.1):	$\mathbf{E}_{\mathbf{c}}$: 22805	MPa

Resistencia a tracción (ANSI/AISC 360-10 (LRFD), I2.2c)

La comprobación no procede, ya que no hay axil de tracción.

FLEXIÓN. Miembros compuestos rellenos (eje x) (ANSI/AISC 360-10 (LRFD), I3.4)

Las secciones compuestas rellenas deberán ser clasificadas para pandeo local de acuerdo con la Sección I1.4.

II.4. Para flexión, las secciones compuestas rellenas son clasificadas como compactas, no compactas o esbeltas.

Almas de secciones tubulares rectangulares (HSS) y de cajón de espesor uniforme

Compacto

 $60.50 \le 84.85$

donde

 λ_p : 84.85

h: Luz libre entre las alas menos las esquinas redondeadas a cada lado. Cuando la esquina redondeada no se conoce, b y h se tomarán como la dimensión exterior correspondiente menos tres veces el espesor (ANSI/AISC 360-10 (LRFD), B4.1b(d)).

h : 242.0 mm

t: El espesor de diseño t, en los cálculos que involucran el espesor de secciones tubulares (HSS), será igual a 0,93 veces el espesor nominal en secciones HSS soldadas mediante resistencia eléctrica (ERW) e igual al espesor nominal para secciones HSS soldadas mediante arco sumergido (SAW) (ANSI/AISC 360-10 (LRFD), B4.2).

t : 4.0 mm

E: Módulo de elasticidad del acero **E**: $\overline{200000}$ MPa

 $\mathbf{F}_{\mathbf{y}}$: Tensión de fluencia mínima especificada de la sección de

acero $\mathbf{F_y}: 250.00 \text{ MPa}$

La resistencia a flexión disponible de miembros compuestos rellenos debe ser determinada como sigue:

94.84 kN·m \geq 29.23 kN·m \checkmark

La resistencia a flexión requerida M_r, se produce en el punto 'Pie' para la combinación de carga LRFD 1.2·PP+1.2·CM+0.5·Qa+0.3·SX+SY.

donde

M_r: Resistencia de flexión requerida usando las combinaciones

de carga LRFD. $\mathbf{M_r}: 29.23 \quad kN \cdot m$

 \mathbf{M}_{c} : Resistencia de flexión de diseño \mathbf{M}_{c} : 94.84 kN·m

 $\mathbf{F_b}$: Factor de resistencia por flexión. $\mathbf{F_b}: 0.90$

La resistencia nominal a flexión, M_n , deberá ser determinada como sigue:

(a) Para secciones compactas

 $\mathbf{M_n}$: 105.38 kN·m

donde

 \mathbf{M}_p : Momento correspondiente a la distribución de tensiones plásticas en la sección transversal del miembro compuesto \mathbf{M}_p : 105.38 kN·m

FLEXIÓN. Miembros compuestos rellenos (eje y) (ANSI/AISC 360-10 (LRFD), I3.4)

Las secciones compuestas rellenas deberán ser clasificadas para pandeo local de acuerdo con la Sección I1.4.

II.4. Para flexión, las secciones compuestas rellenas son clasificadas como compactas, no compactas o esbeltas.

Almas de secciones tubulares rectangulares (HSS) y de cajón de espesor uniforme

Compacto

 $60.50 \le 84.85$

donde

 λ_p : 84.85

h: Luz libre entre las alas menos las esquinas redondeadas a cada
lado. Cuando la esquina redondeada no se conoce, b y h se tomarán como la dimensión exterior correspondiente menos tres
veces el espesor (ANSI/AISC 360-10 (LRFD), B4.1b(d)).
h: 242.0 mm

t: El espesor de diseño t, en los cálculos que involucran el espesor de secciones tubulares (HSS), será igual a 0,93 veces el espesor nominal en secciones HSS soldadas mediante resistencia eléctrica (ERW) e igual al espesor nominal para secciones HSS soldadas mediante arco sumergido (SAW) (ANSI/AISC 360-10 (LRFD),

B4.2). t : 4.0 mm

E: Módulo de elasticidad del acero E: 200000 MPa

F_y: Tensión de fluencia mínima especificada de la sección de

acero $\mathbf{F_y}$: 250.00 MPa

La resistencia a flexión disponible de miembros compuestos rellenos debe ser determinada como sigue:

 $94.84 \text{ kN} \cdot \text{m} \ge 32.31 \text{ kN} \cdot \text{m}$

La resistencia a flexión requerida M_r , se produce en el punto 'Pie' para la combinación de carga LRFD $1.2 \cdot PP + 1.2 \cdot CM + 0.5 \cdot Qa + SX + 0.3 \cdot SY$.

donde

M_r: Resistencia de flexión requerida usando las combinaciones

de carga LRFD. $\mathbf{M_r}: 32.31 \quad \mathrm{kN \cdot m}$

 $\mathbf{M_c}$: Resistencia de flexión de diseño $\mathbf{M_c}$: 94.84 kN·m

 $\mathbf{F_b}$: Factor de resistencia por flexión. $\mathbf{F_b}: 0.90$

Ramírez Cabrera

58

La resistencia nominal a flexión, M_n , deberá ser determinada como sigue:

(a) Para secciones compactas

 $M_n : 105.38 \text{ kN} \cdot \text{m}$

donde

 \mathbf{M}_p : Momento correspondiente a la distribución de tensiones plásticas en la sección transversal del miembro compuesto \mathbf{M}_p : 105.38 kN·m

CORTE. Miembros Compuestos Embebidos y Rellenos (eje x) (ANSI/AISC 360-10 (LRFD), I4.1)

La resistencia de diseño al corte, $F_v\ V_n$, debe ser determinada basada en uno de los casos a continuación:

(a) La resistencia disponible al corte de la sección de acero sola es especificada en el Capítulo G.

 $261.36 \text{ kN} \geq 23.89 \text{ kN} \checkmark$

La resistencia requerida de corte V_r se produce en el punto 'Cabeza' para la combinación de carga LRFD $1.2 \cdot PP + 1.2 \cdot CM + 0.5 \cdot Qa + SX + 0.3 \cdot SY$.

donde

V_r: Resistencia requerida de corte usando las combinaciones de carga LRFD

 $V_r : 23.89 \text{ kN}$

 \mathbf{V}_{c} : Resistencia de corte de diseño, determinada de acuerdo con

Capítulo G.

 $V_c : 261.36 \text{ kN}$

G.1: Para todas las disposiciones en este capítulo, excepto la Sección G2.1(a):

F_v: Factor de resistencia por corte.

 $F_v : 0.90$

V_n: La resistencia de corte nominal, V_n, de tubos rectangulares y cuadrados debe ser determinada usando las disposiciones de la

Sección G2.1 con $A_w = 2 \cdot h \cdot t$ (ANSI/AISC 360-10 (LRFD), G5): $V_n : 290.40$ kN

donde

F_y: Tensión de fluencia mínima especificada de la sección de

acero

Fy: 250.00 MPa

 $A_w: 1936 \text{ mm}^2$

h: El ancho resistente a la fuerza de corte, tomado como la distancia libre entre alas menos el radio de esquina interior en cada lado. Si el radio de esquina es desconocido, h debe tomarse como la respectiva dimensión exterior menos tres veces el espesor.

h : 242.0 mm

t: El espesor de diseño t, en los cálculos que involucran el espesor de secciones tubulares (HSS), será igual a 0,93 veces el espesor nominal en secciones HSS soldadas mediante resistencia eléctrica (ERW) e igual al espesor nominal para secciones HSS soldadas mediante arco sumergido (SAW) (ANSI/AISC 360-10 (LRFD), B4.2).

t : 4.0 mm

C_v: Coeficiente de corte del alma

 $\mathbf{C_v}: \overline{1.00}$

Sección G.2.1(b): Para almas de todos los otros perfiles de simetría doble o simple y canales, excepto tubos circulares, el coeficiente de corte del alma, C_{ν} , se determina de la siguiente manera:

(i) Donde

 $60.50 \le 69.57$

 t_w : Espesor del alma t_w : 4.0 mm

 $t_{\rm w}=t\,$

 $\mathbf{k}_{\mathbf{v}}$: Coeficiente de pandeo por corte del alma $\mathbf{k}_{\mathbf{v}}: 5.00$

E: Módulo de elasticidad del acero E: 200000 MPa

F_y: Tensión de fluencia mínima especificada de la sección de

acero F_y : 250.00 MPa

CORTE. Miembros Compuestos Embebidos y Rellenos (eje y) (ANSI/AISC 360-10 (LRFD), I4.1)

La resistencia de diseño al corte, F_v V_n , debe ser determinada basada en uno de los casos a continuación:

(a) La resistencia disponible al corte de la sección de acero sola es especificada en el Capítulo G.

 $261.36 \text{ kN} \ge 20.09 \text{ kN} \checkmark$

La resistencia requerida de corte V_r se produce en el punto 'Cabeza' para la combinación de carga LRFD $1.2 \cdot PP + 1.2 \cdot CM + 0.5 \cdot Qa + 0.3 \cdot SX + SY$.

donde

 V_r : Resistencia requerida de corte usando las combinaciones de carga LRFD $V_c: \text{Resistencia de corte de diseño, determinada de acuerdo con}$ Capítulo G. $V_c: 20.09 \quad \text{kN}$ Capítulo G. $V_c: 261.36 \quad \text{kN}$

G.1: Para todas las disposiciones en este capítulo, excepto la Sección G2.1(a):

F_v: Factor de resistencia por corte.

 $\mathbf{F_v}: 0.90$

 \mathbf{V}_n : La resistencia de corte nominal, \mathbf{V}_n , de tubos rectangulares y cuadrados debe ser determinada usando las disposiciones de la

Sección G2.1 con $A_w = 2 \cdot h \cdot t$ (ANSI/AISC 360-10 (LRFD), G5): $V_n : 290.40$ kN

donde

 $\mathbf{F}_{\mathbf{y}}$: Tensión de fluencia mínima especificada de la sección de acero $\mathbf{F}_{\mathbf{v}}$: 2

 $\mathbf{F_y} : 250.00 \text{ MPa}$

 $A_w: 1936$ mm²

h: El ancho resistente a la fuerza de corte, tomado como la distancia libre entre alas menos el radio de esquina interior en cada lado. Si el radio de esquina es desconocido, h debe tomarse como la respectiva dimensión exterior menos tres veces el espesor.

h : 242.0 mm

t: El espesor de diseño t, en los cálculos que involucran el espesor de secciones tubulares (HSS), será igual a 0,93 veces el espesor nominal en secciones HSS soldadas mediante resistencia eléctrica (ERW) e igual al espesor nominal para secciones HSS soldadas mediante arco sumergido (SAW) (ANSI/AISC 360-10 (LRFD), B4.2).

: 4.0 mm

C_v: Coeficiente de corte del alma

 $C_{v}: 1.00$

Sección G.2.1(b): Para almas de todos los otros perfiles de simetría doble o simple y canales, excepto tubos circulares, el coeficiente de corte del alma, C_v , se determina de la siguiente manera:

(i) Donde

 $60.50 \le 69.57$

tw: Espesor del alma

 $t_{\rm w}$: 4.0 mm

 $t_{\rm w} = t$

k_v: Coeficiente de pandeo por corte del alma

 $k_v : 5.00$

E: Módulo de elasticidad del acero

E: 200000 MPa

F_y: Tensión de fluencia mínima especificada de la sección de

 F_y : 250.00 MPa

acero

Combinación de carga axial y flexión (ANSI/AISC 360-10 (LRFD), I5)

La interacción entre fuerza axial y flexión debe estar basada en las ecuaciones de interacción de la Sección H1.1.

H1.1 Miembros con Simetría Doble y Simple Solicitados a Flexión y Compresión

$$0.56 \leq 1.00 \checkmark$$

Las resistencias requeridas se producen en el punto 'Pie' para la combinación de carga LRFD 1.2·PP+1.2·CM+0.5·Qa+SX+0.3·SY.

(b) Donde $P_r/P_c < 0.2$

donde

P_r: Resistencia de compresión axial requerida usando las

combinaciones de carga LRFD.

 P_{r} : 130.28 kN

 P_c : F_cP_n = Resistencia de diseño de compresión P_c : 1540.04 kN

 \mathbf{M}_{r} : Resistencia de flexión requerida usando las combinaciones

de carga LRFD.

 $\mathbf{M_{rx}}: 18.71 \quad \text{kN} \cdot \text{m}$

kN·m

 $M_{rv}: 30.77$

 $\mathbf{M_c}$: $F_b \mathbf{M_n} = \text{Resistencia de flexión de diseño}$ $\mathbf{M_{cx}} : \overline{94.84}$ $k \mathbf{N \cdot m}$

M_{cy}: 94.84 kN⋅m

Ramírez Cabrera 64

Miembros con Simetría Doble y Simple Sujetos a Flexión y Tracción (ANSI/AISC 360-10 (LRFD), H1.2)

La comprobación no procede, ya que no hay axil de tracción.

Resistencia Torsional de Secciones Tubulares Redondas y Rectangulares (ANSI/AISC 360-10 (LRFD), H3.1)

La resistencia torsional de diseño, F_TT_n, para secciones tubulares redondas o rectangulares, de acuerdo con los estados límites de fluencia torsional y pandeo torsional, debe ser determinada como sigue:

 $65.36 \text{ kN} \cdot \text{m} \geq 0.18 \text{ kN} \cdot \text{m} \checkmark$

La resistencia torsional requerida T_r se produce en el punto 'Pie' para la combinación de carga LRFD 1.2·PP+1.2·CM+0.5·Qa-0.3·SX-SY.

donde

T_r: Resistencia torsional requerida usando las combinaciones de

 $T_r: 0.18 \text{ kN} \cdot \text{m}$ carga LRFD

T_c: Resistencia torsional de diseño T_c: 65.36 kN·m

 $F_T: 0.90$ **F**_T: Factor de resistencia por torsión.

T_n: Resistencia torsional nominal $T_n: 72.62 \text{ kN} \cdot \text{m}$

donde C es la constante torsional para secciones tubulares.

C: 484128 mm³

(i) Donde

60.50 £ 69.30

Fcr: 150.00 MPa

donde

h: Ancho plano o lado de mayor longitud tal como se define en Sección B4.1b(d)

h : 242.0 mm

t: El espesor de diseño t, en los cálculos que involucran el espesor de secciones tubulares (HSS), será igual a 0,93 veces el espesor nominal en secciones HSS soldadas mediante resistencia eléctrica (ERW) e igual al espesor nominal para secciones HSS soldadas mediante arco sumergido (SAW) (ANSI/AISC 360-10 (LRFD), B4.2).

t : 4.0 mm

E: Módulo de elasticidad del acero E: 200000 MPa

F_y: Tensión de fluencia mínima especificada de la sección de acero F_y : 250.00 MPa

Secciones Tubulares solicitadas a Combinación de Torsión, Corte, Flexión y Carga Axial (ANSI/AISC 360-10 (LRFD), H3.2)

Cuando la resistencia torsional requerida, T_r, es menor o igual que el 20% de la resistencia torsional disponible, T_c, la interacción de torsión, corte, flexión y/o carga axial para secciones tubulares debe ser determinada de acuerdo con la Sección H1 y los efectos torsionales deben ser despreciados.

 $0.18 \text{ kN} \cdot \text{m} \leq 13.07 \text{ kN} \cdot \text{m}$



Ramírez Cabrera

66

La resistencia torsional requerida T_r se produce en el punto 'Pie' para la combinación

de carga LRFD 1.2·PP+1.2·CM+0.5·Qa-0.3·SX-SY.

donde

Tr: Resistencia torsional requerida usando las combinaciones de

carga LRFD $T_r: 0.18 \text{ kN} \cdot \text{m}$

 T_c : Resistencia torsional de diseño T_c : 65.36 kN·m

<u>Limitaciones Ancho-Espesor de Secciones de Acero y Compuestas (ANSI/AISC</u>

341-10 (LRFD), D1.1b)

Para elementos designados como elementos de ductilidad moderada, las relaciones

ancho-espesor de los elementos a compresión no deben exceder de las relaciones

límite ancho-espesor, λ_{hm} , de la Tabla D1.1.

Paredes de elementos compuestos rellenos rectangulares

Elementos de Ductilidad Moderada

 $60.50 \le 63.92$

λhm: 63.92

b: Ancho del elemento rigidizado en compresión

b : 242.0 mm

t: El espesor de diseño t, en los cálculos que involucran el espesor de secciones tubulares (HSS), será igual a 0,93 veces el espesor nominal en secciones HSS soldadas mediante resistencia eléctrica (ERW) e igual al espesor nominal para secciones HSS soldadas mediante arco sumergido (SAW) (ANSI/AISC 360-10 (LRFD), B4.2)

sumergido (SAW) (ANSI/AISC 360-10 (LRFD), B4.2). ${f t}$: 4.0 mm

E: Módulo de elasticidad del acero E: 200000 MPa

 $\mathbf{F_y}$: Tensión de fluencia mínima especificada de la sección de acero $\mathbf{F_y}$: 250.00 MPa

Las deformaciones que se producen luego de usar todas las combinaciones que nos exige la Norma Ecuatoriana de la Construcción (CAMICON-MIDUVI, 2008) se muestran en el siguiente gráfico:

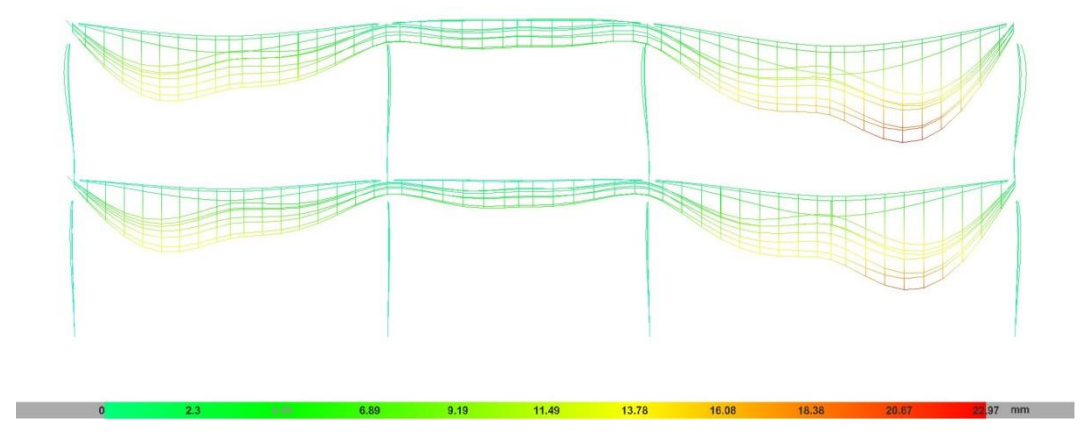


Figura 15 Deformación de Estructura con Columnas Mixtas usando Combinaciones según la NEC vista frontal

Fuente: (CYPE Ingenieros, 2015)

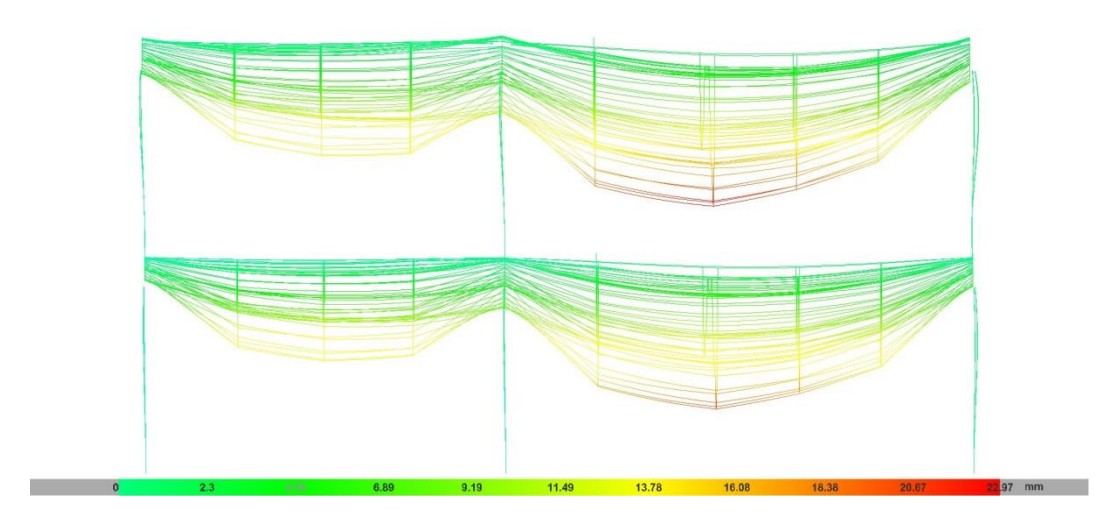


Figura 16 Deformación de Estructura con Columnas Mixtas usando Combinaciones según la NEC vista lateral

Fuente: (CYPE Ingenieros, 2015)

Luego del cálculo con un sismo desfavorable los gráficos indican que la estructura no sufrirá mayor daño y se muestran en los siguientes esquemas:

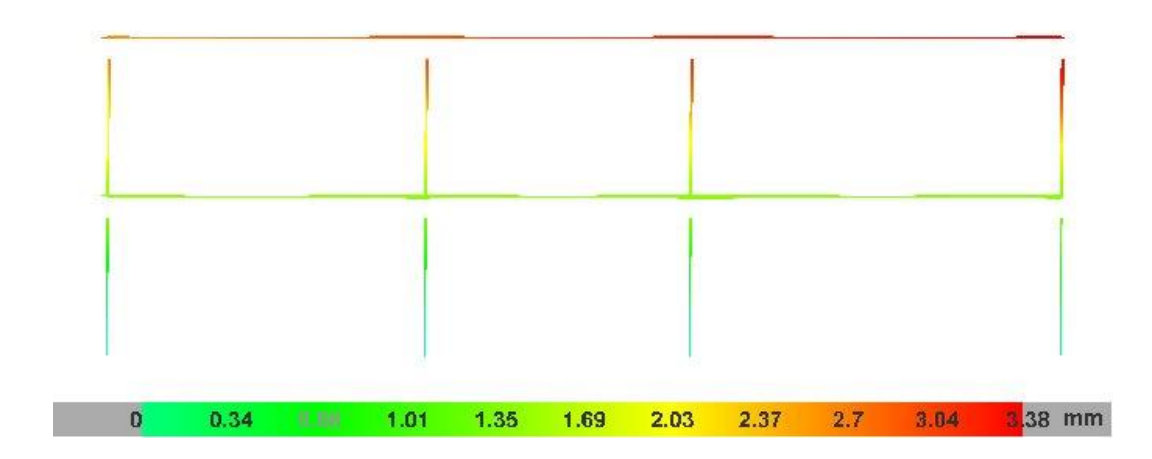


Figura 17 Sismo en "X" vista frontal Fuente: (CYPE Ingenieros, 2015)

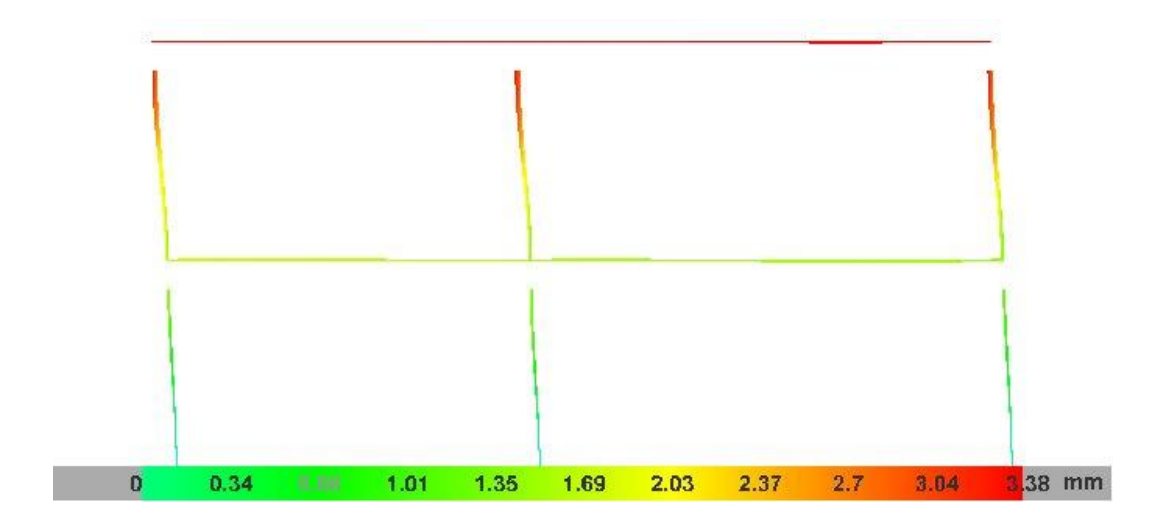


Figura 18 Sismo en "X" vista lateral Fuente: (CYPE Ingenieros, 2015)

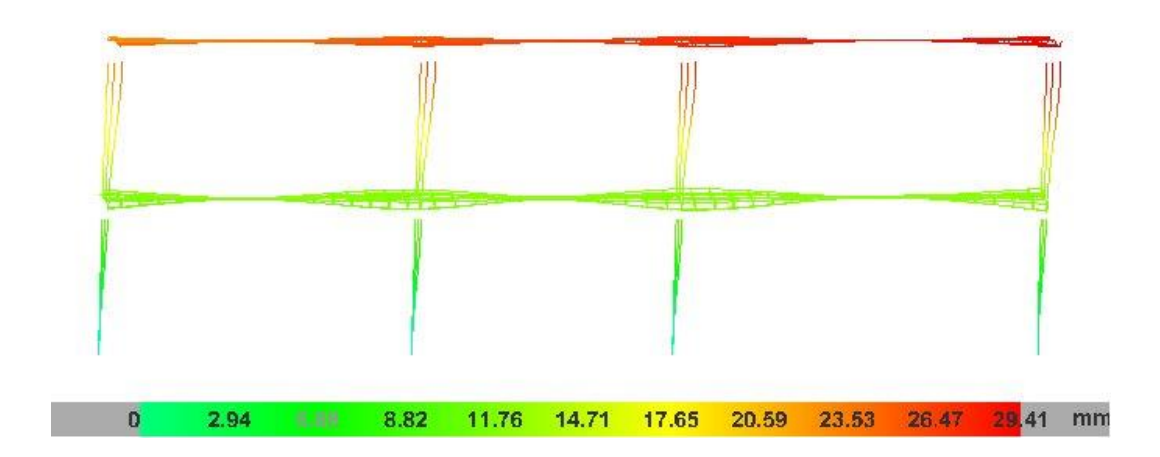


Figura 19 Sismo en "Y" vista frontal Fuente: (CYPE Ingenieros, 2015)

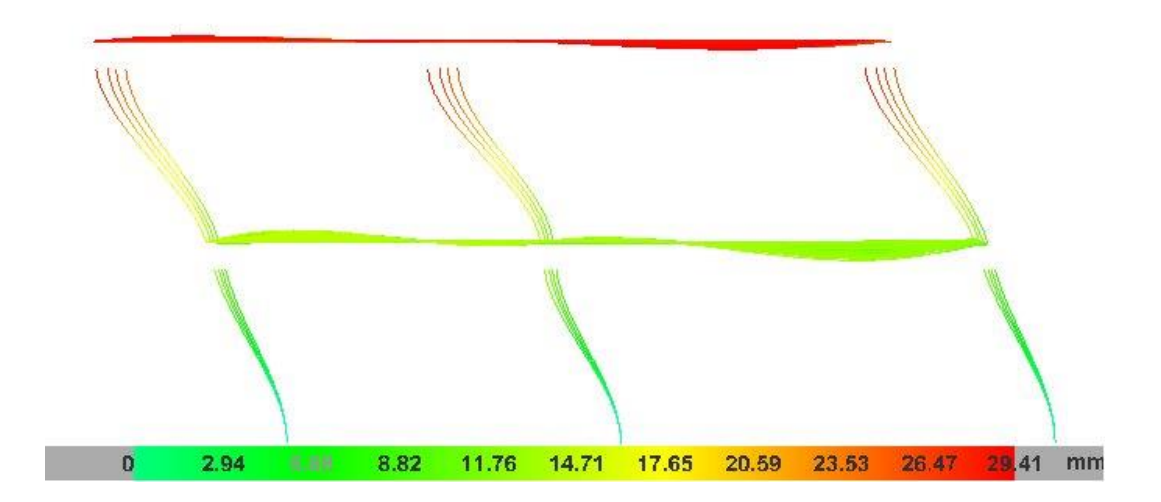


Figura 20 Sismo en "Y" vista lateral Fuente: (CYPE Ingenieros, 2015)

3.4. Modelación estructural con acero estructural

A continuación, se muestran los resultados de una sola columna con todos los cálculos necesarios para que una edificación sea considerada segura y habitable, el cálculo de las demás columnas será presentado en formato digital.



Figura 21 Estructura de dos pisos con Columnas de Acero Fuente: (CYPE Ingenieros, 2015)

1.- N+6 (3 - 6 M)

Perfil: 250x250x4										
Material: Acero (A.	36)									
	Cotas del tramo (m)			Altura libre	Características mecánicas					
	Pie		Cabeza	(m)	Área (cm²)	$I_x^{(1)}$ (cm4)	I _y ⁽¹⁾ (cm4)	I _t ⁽²⁾ (cm4)		
	3.00	0 6.00		2.600	39.3	3970.9	3970.9	5956.3		
	2.00		0.00	2.000	6	0	0	5		
Y	Notas: (1) Inercia respecto al eje indicado (2) Momento de inercia a torsión uniforme									
x		Pano	deo		Pandeo lateral					
		Plano ZX		Plano ZY		Ala sup.	A	Ala inf.		
,	В	1.00		1.00		1.00	1.	1.00		
	L _K	2.600		2.600	2.600		2.600			
	C _b - 1.000									
	Notación: b: Coeficiente de pandeo L_K : Longitud de pandeo (m) C_b : Factor de modificación para el momento crítico									

Resistencia a tracción (Capítulo D)

La comprobación no procede, ya que no hay axil de tracción.

Limitación de esbeltez para compresión (Capítulo E)

La esbeltez máxima admisible en una barra sometida a compresión es:

 $\lambda : 26$

Donde:

λ: Coeficiente de esbeltez

λ: 26

Donde:

L: Longitud de la barra

L: 3000 mm

K: Factor de longitud efectiva.

K: 0.87

rx: Radio de giro respecto al eje X

 $\mathbf{r}_{\mathbf{x}}$: 100.4 mm

Donde:

 $\mathbf{r_x}$: 100.4 mm

Donde:

I_x: Momento de inercia respecto al eje X

 I_x : 3970.90 cm4

A: Área total de la sección transversal de la

barra. A: 39.36 cm²

Resistencia a compresión (Capítulo E)

Todas las secciones deben cumplir con las especificaciones LRFD desarrolladas en Capítulo E de ANSI/AISC 360-10 (LRFD).

Se debe satisfacer el siguiente criterio:

ηт ∶ 0.097 ✓

El axil de compresión solicitante de cálculo pésimo P_r se produce en el nudo 3.00, para la combinación de hipótesis $1.2 \cdot PP + 1.2 \cdot CM + 1.6 \cdot Qa$.

Donde:

 P_r : Resistencia a compresión requerida para las combinaciones de carga LRFD $P_r \ : \ \emph{6.420}$

 P_c : Resistencia de diseño a compresión P_c : 65.930

La resistencia de diseño a compresión en secciones comprimidas es el menor valor de los obtenidos según los estados límite descritos en el Capítulo E.

Donde:

j_p: Factor de resistencia a compresión, tomado como:

P_n: Resistencia nominal a compresión,

calculada según el Artículo E7-2-B: Pn: 73.256 t

 j_p : 0.90

para secciones con elementos esbeltos (ANSI/AISC 360-10 (LRFD), Capítulo E - E7-2-B).

A: Área bruta de la sección de la barra. A : 39.36 cm²

 $\mathbf{F_{cr}}$: Tensión de pandeo por flexión, tomada como: $\mathbf{F_{cr}}$: 1861.17 kp/cm²

a) Cuando:

Donde:

F_y: Límite elástico mínimo especificado

del acero de las barras F_y : 2548.42 kp/cm²

i) para secciones doblemente

simétricas, F_e es el menor valor de: F_e : 30029.48 kp/cm²

 $F_e : 611620.79 \text{ kp/cm}^2$

mm

Donde:

E: Módulo de elasticidad del

acero $E : 2038735.98 \text{ kp/cm}^2$

Cw: Constante de alabeo de la

sección $C_w: 0.00$ cm6

K_z: Factor de longitud efectiva de pandeo alrededor

del eje Z $\mathbf{K_z}$: 0.87

L: Longitud de la barra L : 3000

G: Módulo de elasticidad

transversal del acero $G: 815494.39 \text{ kp/cm}^2$

J: Momento de inercia a

torsión uniforme J : 5956.35 cm⁴

 I_x : Momento de inercia I_x : 3970.90 respecto al eje X cm4 I_y: Momento inercia de respecto al eje Y I_y : 3970.90 cm4 Fe: Tensión crítica elástica de pandeo, tomada como la menor de: F_e : 30029.48 kp/cm² $F_{ex}: 30029.48$ kp/cm² $\mathbf{F_{ey}}: 30029.48$ kp/cm² Donde: E: Módulo de elasticidad del acero $E : 2038735.98 \text{ kp/cm}^2$ **K**: Factor de longitud K_x : 0.87 efectiva. $K_y : 0.87$ L: Longitud de la barra L : 3000 mm Radio de giro $\mathbf{r}_{\mathbf{x}}$: 100.4 mm dominante $r_y : 100.4$ mm Donde: I: Momento de I_x : 3970.90 cm4 inercia I_v : 3970.90 cm4 A: Área total de sección transversal de la barra. : 39.36 cm^{2}

Q : 0.75

2) en secciones formadas únicamente por elementos no				
rigidizados:				
	$\mathbf{Q}_{\mathbf{s}}$:	1.00	
				=
	Qa	:	0.75	
				_
Donde:				
A: Área total de la sección transversal de la				
barra.	A	:	39.36	cm ²
Aeff: Suma de las áreas eficaces de la sección				_
transversal basadas en el ancho eficaz reducido				
'be' y en la altura eficaz reducida 'he', donde sea				
de aplicación.	Aef	f:	29.52	cm ²
b) para alas de secciones cuadradas y				_
rectangulares con elementos esbeltos de				
espesor uniforme:				
i) Cuando:				
			100.51	
	De	:	180.51	mm -
Donde:				
	f	:	2481.42	kp/cm²

b: Distancia libre entre almas menos el radio de acuerdo a cada lado b : 242.00 mm t: Espesor de la pared : 4.00 mm E: Módulo de elasticidad del : 2038735.98 kp/cm² acero i) Cuando: $h_e : 180.51$ mm Donde: kp/cm² **f** : 2481.42 h: Distancia libre entre alas menos el radio de acuerdo a cada lado h : 242.00 mm t: Espesor de la pared : 4.00 mm E: Módulo de elasticidad del **E** : 2038735.98 kp/cm² acero

Resistencia a flexión eje X (Capítulo F)

Todas las secciones deben cumplir con las especificaciones LRFD desarrolladas en Capítulo F de ANSI/AISC 360-10 (LRFD).

Se debe satisfacer el siguiente criterio:

El momento flector solicitante de cálculo pésimo, M_r , se produce en el nudo 6.00, para la combinación de acciones $1.2 \cdot PP + 1.2 \cdot CM + 0.5 \cdot Qa - 0.3 \cdot SX - SY$.

Donde:

 $\mathbf{M_r}$: Resistencia a flexión requerida para las combinaciones de carga LRFD $\mathbf{M_r}$: 1.977 $\mathbf{t} \cdot \mathbf{m}$ $\mathbf{M_c}$: Resistencia de diseño a flexión $\mathbf{M_c}$: 6.582 $\mathbf{t} \cdot \mathbf{m}$

La resistencia de diseño a flexión para secciones sometidas a momento flector es el menor valor de los obtenidos según los estados límite descritos en el Capítulo F:

Donde:

j_b: Factor de resistencia a flexión

M_n: La resistencia nominal a flexión

calculada según Artículo 7, Sección 2,

División c

M_n: 7.314 t·m

Donde:

M_r: Resistencia a flexión requerida

 M_{r}^{+} : 1.977

 $t\!\cdot\! m$

 $M_{r}^{-}: 0.891$

 $t\!\cdot\! m$

1. Fluencia

 $M_n : 9.254$

t·m

Donde:

F_y: Límite elástico mínimo especificado

 $\mathbf{F_y}$: 2548.42

kp/cm²

Z_x: Módulo resistente plástico respecto al eje X

 $\mathbf{Z}_{\mathbf{x}}$: 363.13

cm³

2. Pandeo local del ala

c) para secciones con alas esbeltas:

 $M_n : 7.314$

t·m

Donde:

F_y: Límite elástico mínimo especificado

 $\mathbf{F_v}$: 2548.42

kp/cm²

Seffx: 286.99

 cm^3

Donde:

I_{effx}: Momento eficaz de inercia respecto al eje X, basado en el ancho

eficaz del ala, calculado como:

 I_{effx} : 3587.39

cm4

b_e : 178.63

mm

Donde:

E: Módulo de elasticidad del

acero $E : 2038735.98 \text{ kp/cm}^2$

b: Distancia libre entre almas menos el radio de acuerdo a

cada lado **b** : 242.00 mm

t: Espesor del ala t : 4.00 mm

y: Distancia a la fibra extrema eficaz en

flexión \mathbf{y} : 125.00 mm

3. Pandeo local del alma

a) para secciones compactas, el estado límite de pandeo local del alma no es de aplicación

Resistencia a flexión eje Y (Capítulo F)

Todas las secciones deben cumplir con las especificaciones LRFD desarrolladas en Capítulo F de ANSI/AISC 360-10 (LRFD).

Se debe satisfacer el siguiente criterio:

_{ηм} : *0.454*

El momento flector solicitante de cálculo pésimo, M_r, se produce en el nudo 6.00, para la combinación de acciones $1.2 \cdot PP + 1.2 \cdot CM + 0.5 \cdot Qa + SX + 0.3 \cdot SY.$

Donde:

Resistencia a flexión requerida para las

combinaciones de carga LRFD

 $M_r : 2.989$

t·m

M_c: Resistencia de diseño a flexión

 $M_c : 6.582$ t·m

La resistencia de diseño a flexión para secciones sometidas a momento flector es el menor valor de los obtenidos según los estados límite descritos en el Capítulo F:

Donde:

j_b: Factor de resistencia a flexión

: 0.90

jb

M_n: La resistencia nominal a flexión calculada según Artículo 7, Sección 2,

División c

 $M_n : 7.314$ t·m

1. Fluencia

 $M_n : 9.254$ t·m

Donde:

F_y: Límite elástico mínimo especificado

 $\mathbf{F_y}$: 2548.42

kp/cm²

Z_y: Módulo resistente plástico respecto al eje Y

 Z_y : 363.13

 cm^3

2. Pandeo local del ala

c) para secciones con alas esbeltas:

 $M_n : 7.314$ t·m Donde:

 $\mathbf{F}_{\mathbf{y}}$: Límite elástico mínimo especificado $\mathbf{F}_{\mathbf{y}}$: 2548.42 kp/cm²

 $S_{effy}: 286.99$ cm³

Donde:

Ieffy: Momento eficaz de inercia respecto al eje Y, basado en el ancho

eficaz del ala, calculado como: Ieffy: 3587.39

he : 178.63 mm

cm4

Donde:

E: Módulo de elasticidad del

acero E : 2038735.98 kp/cm²

h: Distancia libre entre alas menos el radio de acuerdo a

cada lado **h** : 242.00 mm

t: Espesor del alma t : 4.00 mm

x: Distancia a la fibra extrema eficaz en

flexión \mathbf{x} : 125.00 mm

3. Pandeo local del alma

a) para secciones compactas, el estado límite de pandeo local del alma no es de aplicación

Resistencia a corte X (Capítulo G)

Todas las secciones deben cumplir con las especificaciones LRFD desarrolladas en Capítulo G de ANSI/AISC 360-10 (LRFD).

Se debe satisfacer el siguiente criterio:

 $\eta v : 0.081$

El esfuerzo cortante solicitante de cálculo pésimo V_r se produce para la combinación de hipótesis $1.2 \cdot PP + 1.2 \cdot CM + 0.5 \cdot Qa + SX + 0.3 \cdot SY$.

Donde:

 V_r : Resistencia a cortante requerida para las combinaciones de carga LRFD $V_r: 2.171$

V_c: Resistencia de diseño a cortante

 $V_c: 26.642$ t

t

La resistencia de diseño a cortante viene dada por:

Donde:

 $\mathbf{j_v}$: Factor de resistencia a cortante $\mathbf{j_v}$: 0.90

V_n: se define según lo detallado en el Capítulo G, de la siguiente forma:

en tubos rectangulares y secciones en cajón, la resistencia nominal a cortante se calcula de la siguiente forma (ANSI/AISC 360-10 (LRFD), Capítulo G - G-5).

 $V_n: 29.602$ t

Donde:

F_y: Límite elástico mínimo especificado

 $A_w: 19.36$ cm²

Donde:

b: Distancia libre entre almas menos el radio

de acuerdo a cada lado

b : 242.00

mm

tr: Espesor del ala

 $t_{\rm f}$: 4.00

mm

mm

b) para almas de todas las demás secciones con simetría doble o simple y secciones en U, excepto tubos redondos, el coeficiente de cortante del alma, C_v, se calcula de la siguiente forma:

i)

 $\mathbf{C_v}: 1.00$

Donde:

b: Distancia libre entre almas menos el radio de acuerdo a cada

lado **b** : 242.00

 $\mathbf{t_f}$: Espesor del ala $\mathbf{t_f}$: 4.00 mm

E: Módulo de elasticidad del acero E: 2038735.98 kp/cm²

K_v: Coeficiente de abolladura del

alma $\mathbf{K_v}: 5.00$

Resistencia a corte Y (Capítulo G)

Todas las secciones deben cumplir con las especificaciones LRFD desarrolladas en Capítulo G de ANSI/AISC 360-10 (LRFD).

Se debe satisfacer el siguiente criterio:

 $\eta v : 0.054$

El esfuerzo cortante solicitante de cálculo pésimo V_r se produce para la combinación de hipótesis $1.2 \cdot PP + 1.2 \cdot CM + 0.5 \cdot Qa - 0.3 \cdot SX - SY$.

Donde:

 V_r : Resistencia a cortante requerida para las combinaciones de carga LRFD $V_r: 1.445$

V_c: Resistencia de diseño a cortante

 $V_c: 26.642$ t

La resistencia de diseño a cortante viene dada por:

Donde:

 $\mathbf{j_v}$: Factor de resistencia a cortante $\mathbf{j_v}$: 0.90

 $\mathbf{V}_{\mathbf{n}}$: se define según lo detallado en el Capítulo G, de la siguiente forma:

en tubos rectangulares y secciones en cajón, la resistencia nominal a cortante se calcula de la siguiente forma (ANSI/AISC 360-10 (LRFD), Capítulo G - G-5).

 $V_n: 29.602$ t

Donde:

 $\mathbf{F}_{\mathbf{y}}$: Límite elástico mínimo especificado $\mathbf{F}_{\mathbf{y}}$: 2548.42 kp/cm²

 $A_w: 19.36$ cm²

Donde:

h: Distancia libre entre alas, menos el radio

de acuerdo **h** : 242.00 mm

 $\mathbf{t}_{\mathbf{w}}$: Espesor del alma $\mathbf{t}_{\mathbf{w}}$: 4.00 mm

b) para almas de todas las demás secciones con simetría doble o simple y secciones en U, excepto tubos redondos, el coeficiente de cortante del alma, C_v, se calcula de la siguiente forma: i)

 $\mathbf{C_v}: 1.00$

Donde:

h: Distancia libre entre alas, menos

el radio de acuerdo **h** : 242.00 mm

 $\mathbf{t}_{\mathbf{w}}$: Espesor del alma $\mathbf{t}_{\mathbf{w}}$: 4.00 mm

E: Módulo de elasticidad del acero E: 2038735.98 kp/cm²

Kv: Coeficiente de abolladura del

alma $\mathbf{K_v}: 5.00$

Esfuerzos combinados y torsión (Capítulo H)

Se debe cumplir el siguiente criterio:

η: 0.682 🗸

Los esfuerzos solicitantes de cálculo pésimos se producen en el nudo 6.00, para la combinación de acciones 1.2·PP+1.2·CM+0.5·Qa-0.3·SX-SY.

Donde:

η: calculado según Artículo 1, Sección 1

${\bf 1. \, \, Secciones \, \, con \, \, simetr\'ia \, \, doble \, \, y \, \, simple \, \, sometidas \, \, a \, \, flexi\'on \, \, y} \\$

b) Para

η : 0.68

Donde:

Pr: Resistencia a compresión requerida	Pr	:	5.534	t
Pc: Resistencia de diseño a compresión, calculado				-
según el Capítulo E	Pc	:	65.930	t
M _{rx} : Resistencia a flexión requerida en el eje				-
fuerte	Mr	κ:	1.970	t·m
Mex: Resistencia de diseño a flexión en el eje				-
fuerte, calculado según el Capítulo F	Mex	κ:	6.582	t·m
M _{ry} : Resistencia a flexión requerida en el eje débil	M_{ry}	y:	2.243	t∙m
Mcy: Resistencia de diseño a flexión en el eje débil,				-
calculado según el Capítulo F	Mcy	y:	6.582	t∙m
				-

2.- N+3 (0 - 3 M)

Perfil: 250x250x4									
Material: Acero (A36)									
	Cotas (m)		Altura libre	Características mecánicas					
	Pie		(m)	Área (cm²)	$I_x^{(1)}$ (cm4)	I _y ⁽¹⁾ (cm4)	I _t ⁽²⁾ (cm4)		
	0.00	3.00	2.600	39.3 6	9.3 3970.9 39 0 0		5956.3 5		
Y	Notas: (1) Inercia respecto al eje indicado (2) Momento de inercia a torsión uniforme								
x		andeo ano ZX	Plano ZY		Pandeo lateral Ala sup. Al		Ala inf.		
,	b 1.	00	1.00	1.00		1.0	1.00		
	L_{K} 2.	600	2.600	,	2.600		2.600		
	C _b - 1.000								
	Notación: b: Coeficiente de pandeo L _K : Longitud de pandeo (m) C _b : Factor de modificación para el momento crítico								

Resistencia a tracción (Capítulo D)

La comprobación no procede, ya que no hay axial de tracción.

Limitación de esbeltez para compresión (Capítulo E)

La esbeltez máxima admisible en una barra sometida a compresión es:

λ: 26

Donde:

λ: Coeficiente de esbeltez

λ: 26

Donde:

L: Longitud de la barra

L: 3000 mm

K: Factor de longitud efectiva.

K: 0.87

rx: Radio de giro respecto al eje X

 $\mathbf{r}_{\mathbf{x}}$: 100.4 mm

Donde:

 $\mathbf{r_x}: 100.4$ mm

Donde:

I_x: Momento de inercia respecto al eje X

 I_x : 3970.90 cm4

A: Área total de la sección transversal de la

barra.

A: 39.36 cm²

Resistencia a compresión (Capítulo E)

Todas las secciones deben cumplir con las especificaciones LRFD desarrolladas en Capítulo E de ANSI/AISC 360-10 (LRFD).

Se debe satisfacer el siguiente criterio:

ηT : 0.199

t

El axil de compresión solicitante de cálculo pésimo P_r se produce en el nudo 0.00, para la combinación de hipótesis $1.2 \cdot PP + 1.2 \cdot CM + 1.6 \cdot Qa$.

Donde:

 P_r : Resistencia a compresión requerida para las combinaciones de carga LRFD $P_r \ : 13.094$

 P_c : Resistencia de diseño a compresión $P_c : 65.930$ t

La resistencia de diseño a compresión en secciones comprimidas es el menor valor de los obtenidos según los estados límite descritos en el Capítulo E.

Donde:

 $\mathbf{j}_{\mathbf{p}}$: Factor de resistencia a compresión,

tomado como: $\mathbf{j_p}$: 0.90

P_n: Resistencia nominal a compresión, calculada según el Artículo E7-2-B:

 $P_n : 73.256$

t

para secciones con elementos esbeltos (ANSI/AISC 360-10 (LRFD), Capítulo E - E7-2-B).

A: Área bruta de la sección de la barra. A : 39.36 cm²

 $\mathbf{F_{cr}}$: Tensión de pandeo por flexión, tomada como: $\mathbf{F_{cr}}$: 1861.17 kp/cm²

a) Cuando:

Donde:

F_y: Límite elástico mínimo especificado

del acero de las barras F_y : 2548.42 kp/cm²

i) para secciones doblemente

simétricas, F_e es el menor valor de: F_e : 30029.48 kp/cm²

 $\mathbf{F_e} : 611620.79 \text{ kp/cm}^2$

mm

Donde:

E: Módulo de elasticidad del

acero $E : 2038735.98 \text{ kp/cm}^2$

Cw: Constante de alabeo de la

sección $C_w: 0.00$ cm6

K_z: Factor de longitud efectiva de pandeo alrededor

del eje Z $\mathbf{K_z}$: 0.87

L: Longitud de la barra L : 3000

G: Módulo de elasticidad

transversal del acero G: 815494.39 kp/cm²

J: Momento de inercia a

torsión uniforme J : 5956.35 cm⁴

 $\mathbf{I}_{\mathbf{x}}$: Momento de inercia I_x : 3970.90 respecto al eje X cm4 I_y: Momento inercia de respecto al eje Y I_y : 3970.90 cm4 Fe: Tensión crítica elástica de pandeo, tomada como la menor de: F_e : 30029.48 kp/cm² $F_{ex}: 30029.48$ kp/cm² $\mathbf{F_{ey}}: 30029.48$ kp/cm² Donde: E: Módulo de elasticidad del acero E : 2038735.98 kp/cm² **K**: Factor de longitud K_x : 0.87 efectiva. $\mathbf{K_y} : 0.87$ L: Longitud de la barra L : 3000 mm giro $\mathbf{r}_{\mathbf{x}}$: 10.04 Radio de cm dominante $r_y : 10.04$ cm Donde: I: Momento de I_x : 3970.90 cm4 inercia I_y : 3970.90 cm4 A: Área total de sección la transversal de la **A** : 39.36 barra. cm^{2}

Q : 0.75

rigidizados:				
	\mathbf{Q}_{s}	:	1.00	
	Qa	:	0.75	_
Donde:				
A: Área total de la sección transversal de la barra.		:	39.36	cm²
A _{eff} : Suma de las áreas eficaces de la sección transversal basadas en el ancho eficaz reducido				
'b _e ' y en la altura eficaz reducida 'h _e ', donde sea de aplicación.		f:	29.52	cm²
b) para alas de secciones cuadradas y rectangulares con elementos esbeltos de espesor uniforme:				
i) Cuando:				
	be	:	180.51	mm —
Donde:				
	f	:	2481.42	kp/cm²

2) en secciones formadas únicamente por elementos no

b: Distancia libre entre almas menos el radio de acuerdo a

cada lado **b** : 242.00 mm

t: Espesor de la pared t : 4.00 mm

E: Módulo de elasticidad del

acero $\mathbf{E} : 2038735.98 \text{ kp/cm}^2$

i) Cuando:

 $h_e : 180.51$ mm

Donde:

f : 2481.42 kp/cm²

h: Distancia libre entre alas menos el radio de acuerdo a

cada lado **h** : 242.00 mm

t: Espesor de la pared t : 4.00 mm

E: Módulo de elasticidad del

acero $E : 2038735.98 \text{ kp/cm}^2$

Resistencia a flexión eje X (Capítulo F)

Todas las secciones deben cumplir con las especificaciones LRFD desarrolladas en Capítulo F de ANSI/AISC 360-10 (LRFD).

Se debe satisfacer el siguiente criterio:

 $\eta_{\rm M}$: 0.355

El momento flector solicitante de cálculo pésimo, M_r, se produce en el nudo 0.00, para la combinación de acciones $1.2 \cdot PP + 1.2 \cdot CM + 0.5 \cdot Qa - 0.3 \cdot SX - SY$.

Donde:

Mr: Resistencia a flexión requerida para las

combinaciones de carga LRFD

 $M_r : 2.335$ t·m

M_c: Resistencia de diseño a flexión

 $M_c : 6.582$ t·m

La resistencia de diseño a flexión para secciones sometidas a momento flector es el menor valor de los obtenidos según los estados límite descritos en el Capítulo F:

Donde:

j_b: Factor de resistencia a flexión

: 0.90

M_n: La resistencia nominal a flexión calculada según Artículo 7, Sección 2,

División c

 $M_n : 7.314$

t·m

Donde:

M_r: Resistencia a flexión requerida

 M_{r^+} : 1.919

t·m

 M_{r} : 2.335

t·m

1. Fluencia

 $M_n\ :\ 9.254$ t·m

Donde:

F_y: Límite elástico mínimo especificado

kp/cm² $\mathbf{F_y}$: 2548.42

Z_x: Módulo resistente plástico respecto al eje X

 $\mathbf{Z}_{\mathbf{x}}$: 363.13

 $\,\mathrm{cm^3}$

2. Pandeo local del ala

c) para secciones con alas esbeltas:

 $M_n : 7.314$ t·m

Donde:

F_y: Límite elástico mínimo especificado

 $\mathbf{F_y}$: 2548.42

kp/cm²

Seffx: 286.99

cm3

Donde:

Momento eficaz de inercia respecto al eje X, basado en el ancho

eficaz del ala, calculado como:

 I_{effx} : 3587.39

cm4

be : 178.63 mm Donde:

E: Módulo de elasticidad del

acero $E : 2038735.98 \text{ kp/cm}^2$

b: Distancia libre entre almas menos el radio de acuerdo a

cada lado **b** : 242.00 mm

 ${f t}$: Espesor del ala ${f t}$: 4.00 mm

y: Distancia a la fibra extrema eficaz en

flexión \mathbf{y} : 125.00 mm

3. Pandeo local del alma

a) para secciones compactas, el estado límite de pandeo local del alma no es de aplicación

Resistencia a flexión eje Y (Capítulo F)

Todas las secciones deben cumplir con las especificaciones LRFD desarrolladas en Capítulo F de ANSI/AISC 360-10 (LRFD).

Se debe satisfacer el siguiente criterio:

 $\eta_{\rm M}$: 0.397

El momento flector solicitante de cálculo pésimo, M_r, se produce en el nudo 3.00, para la combinación de acciones $1.2 \cdot PP + 1.2 \cdot CM + 0.5 \cdot Qa + SX + 0.3 \cdot SY.$

Donde:

Resistencia a flexión requerida para las

combinaciones de carga LRFD

 $M_r : 2.611$

t·m

M_c: Resistencia de diseño a flexión

 $M_c : 6.582$

t·m

La resistencia de diseño a flexión para secciones sometidas a momento flector es el menor valor de los obtenidos según los estados límite descritos en el Capítulo F:

Donde:

jь: Factor de resistencia a flexión

: 0.90

jь

M_n: La resistencia nominal a flexión calculada según Artículo 7, Sección 2,

División c

 $M_n : 7.314$

t·m

Donde:

M_r: Resistencia a flexión requerida

 $M_{r}^{+}: 0.869$

t·m

 $M_{r}^{-}: 2.611$ t·m

1. Fluencia

 $M_n : 9.254$

Donde:

F_y: Límite elástico mínimo especificado

 $\mathbf{F_y}$: 2548.42

kp/cm²

Z_y: Módulo resistente plástico respecto al eje Y

 $\mathbf{Z_y}$: 363.13

 $\,\mathrm{cm^3}$

t·m

2. Pandeo local del ala

c) para secciones con alas esbeltas:

 $\mathbf{M_n}$: 7.314 $\mathbf{t \cdot m}$

Donde:

F_y: Límite elástico mínimo especificado

 F_y : 2548.42 kp/cm²

 $S_{effy}: 286.99$ cm³

Donde:

 $\mathbf{I}_{ ext{effy}}$: Momento eficaz de inercia respecto al eje Y, basado en el ancho

eficaz del ala, calculado como: $I_{effy}: 3587.39$ cm⁴

h_e : 178.63 mm

Donde:

E: Módulo de elasticidad del

acero $E : 2038735.98 \text{ kp/cm}^2$

h: Distancia libre entre alas menos el radio de acuerdo a

cada lado **h** : 242.00 mm

t: Espesor del alma t : 4.00 mm

x: Distancia a la fibra extrema eficaz en

flexión \mathbf{x} : 125.00 mm

3. Pandeo local del alma

a) para secciones compactas, el estado límite de pandeo local del alma no es de aplicación

Resistencia a corte X (Capítulo G)

Todas las secciones deben cumplir con las especificaciones LRFD desarrolladas en Capítulo G de ANSI/AISC 360-10 (LRFD).

Se debe satisfacer el siguiente criterio:

 $\eta v : 0.075$

El esfuerzo cortante solicitante de cálculo pésimo V_r se produce para la combinación de hipótesis $1.2 \cdot PP + 1.2 \cdot CM + 0.5 \cdot Qa + SX + 0.3 \cdot SY$.

Donde:

 V_r : Resistencia a cortante requerida para las combinaciones de carga LRFD V_r

 $V_r: 1.989$

V_c: Resistencia de diseño a cortante

 $V_c: 26.642$ t

La resistencia de diseño a cortante viene dada por:

Donde:

 $\mathbf{j_v}$: Factor de resistencia a cortante $\mathbf{j_v}$: 0.90

 V_n : se define según lo detallado en el Capítulo G, de la siguiente forma:

en tubos rectangulares y secciones en cajón, la resistencia nominal a cortante se calcula de la siguiente forma (ANSI/AISC 360-10 (LRFD), Capítulo G - G-5).

 $V_n: 29.602$

Donde:

 $\mathbf{F}_{\mathbf{y}}$: Límite elástico mínimo especificado $\mathbf{F}_{\mathbf{y}}: 2548.42$ kp/cm²

 $A_w: 19.36$ cm²

mm

Donde:

b: Distancia libre entre almas menos el radio

de acuerdo a cada lado **b** : 242.00

 $\mathbf{t_f}$: Espesor del ala $\mathbf{t_f}$: 4.00 mm

b) para almas de todas las demás secciones con simetría doble o simple y secciones en U, excepto tubos redondos, el coeficiente de cortante del alma, C_v, se calcula de la siguiente forma:

i)

 $\mathbf{C_v}: 1.00$

Donde:

b: Distancia libre entre almas menos el radio de acuerdo a cada

lado **b** : 242.00 mm

 $\mathbf{t_f}$: Espesor del ala $\mathbf{t_f}$: 4.00 mm

E: Módulo de elasticidad del acero E: 2038735.98 kp/cm²

K_v: Coeficiente de abolladura del

alma $\mathbf{K}_{\mathbf{v}}: 5.00$

Resistencia a corte Y (Capítulo G)

Todas las secciones deben cumplir con las especificaciones LRFD desarrolladas en Capítulo G de ANSI/AISC 360-10 (LRFD).

Se debe satisfacer el siguiente criterio:

ηv : 0.064

El esfuerzo cortante solicitante de cálculo pésimo V_r se produce para la combinación de hipótesis $1.2 \cdot PP + 1.2 \cdot CM + 0.5 \cdot Qa - 0.3 \cdot SX - SY$.

Donde:

V_r: Resistencia a cortante requerida para las $V_r : 1.706$ combinaciones de carga LRFD t V_c: Resistencia de diseño a cortante $V_c: 26.642$ t La resistencia de diseño a cortante viene dada por: Donde: **j**_v: Factor de resistencia a cortante j_{v} : 0.90 V_n: se define según lo detallado en el Capítulo G, de la siguiente forma: en tubos rectangulares y secciones en cajón, la resistencia nominal a cortante se calcula de la siguiente forma (ANSI/AISC 360-10 (LRFD), Capítulo G - G-5). $V_n: 29.602$ Donde: Fy: Límite elástico mínimo especificado $\mathbf{F_y}: 2548.42$ kp/cm² A_w : 19.36 cm² Donde: h: Distancia libre entre alas, menos el radio de acuerdo **h** : 242.00 mm

tw: Espesor del alma

 t_w : 4.00 mm

b) para almas de todas las demás secciones con simetría doble o simple y secciones en U, excepto tubos redondos, el coeficiente de cortante del alma, C_v, se calcula de la siguiente forma:

i)

 $\mathbf{C}_{\mathbf{v}}: 1.00$

Donde:

h: Distancia libre entre alas, menos

el radio de acuerdo **h** : 242.00 mm

 $\mathbf{t_w}$: Espesor del alma $\mathbf{t_w}$: 4.00 mm

E: Módulo de elasticidad del acero E: 2038735.98 kp/cm²

K_v: Coeficiente de abolladura del

alma $\mathbf{K_v}: 5.00$

Esfuerzos combinados y torsión (Capítulo H)

Se debe cumplir el siguiente criterio:

η : 0.654 **√**

Los esfuerzos solicitantes de cálculo pésimos se producen en el nudo 3.00, para la combinación de acciones 1.2·PP+1.2·CM+0.5·Qa-0.3·SX-SY.

Donde:

η: calculado según Artículo 1, Sección 1

1. Secciones con simetría doble y simple sometidas a flexión y compresión

b) Para

 η : 0.65

Donde:

 P_r : Resistencia a compresión requerida P_r : 12.161 t P_c : Resistencia de diseño a compresión, calculadosegún el Capítulo E P_c : 65.930 t M_{rx} : Resistencia a flexión requerida en el eje fuerte M_{rx} : 2.091 t·m M_{cx} : Resistencia de diseño a flexión en el eje fuerte, M_{cx} : 6.582 t·m M_{ry} : Resistencia a flexión requerida en el eje débil M_{ry} : 1.607 t·m M_{cy} : Resistencia de diseño a flexión en el eje débil, M_{cy} : 6.582 t·m

Las deformaciones que se producen luego de usar todas las combinaciones que nos exige la Norma Ecuatoriana de la Construcción (CAMICON-MIDUVI, 2008) se muestran en el siguiente gráfico:

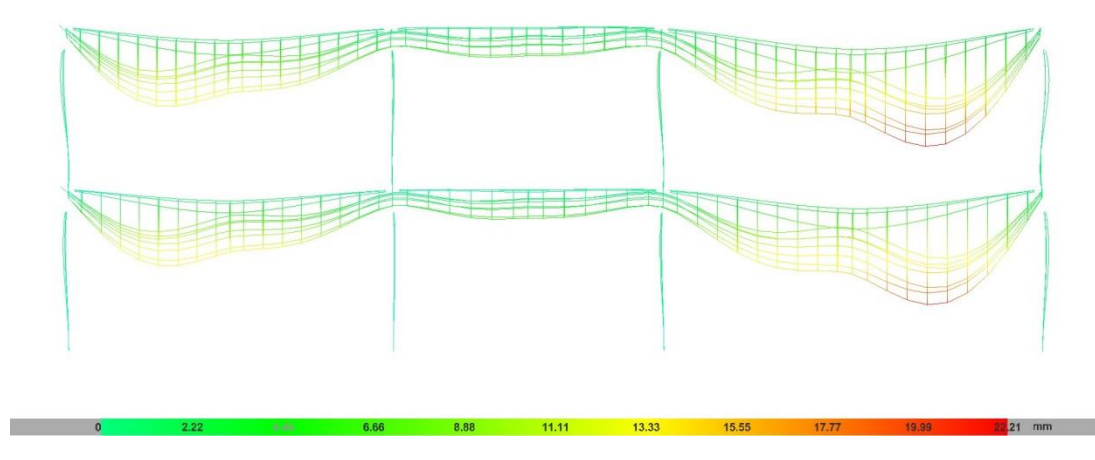


Figura 22 Deformación de Estructura de Acero usando Combinaciones según la NEC vista frontal Fuente: (CYPE Ingenieros, 2015)

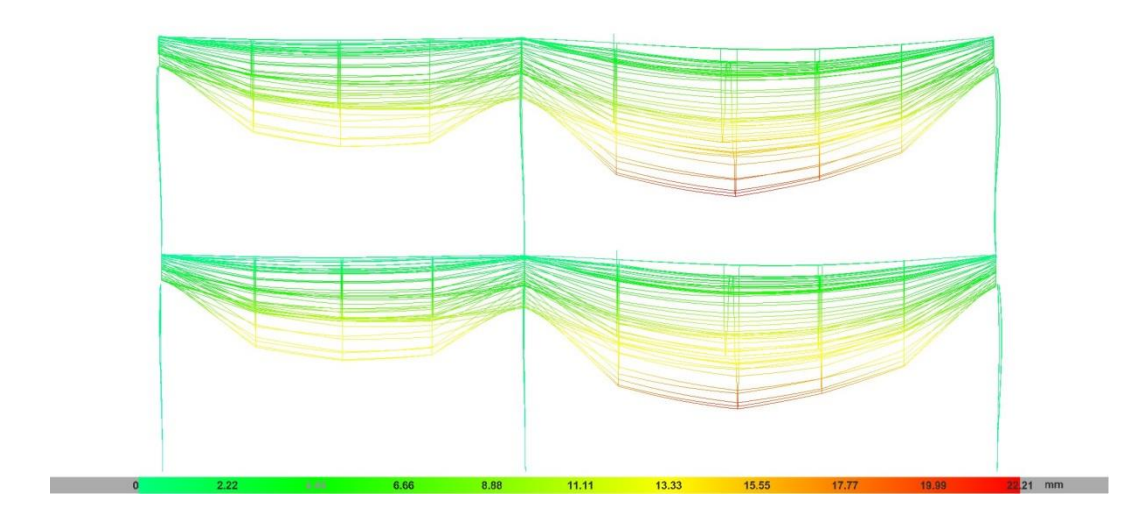


Figura 23 Deformación de Estructura de Acero usando Combinaciones según la NEC vista lateral Fuente: (CYPE Ingenieros, 2015)

Luego del cálculo con un sismo desfavorable los gráficos indican que la estructura no sufrirá mayor daño y se muestran en los siguientes esquemas:

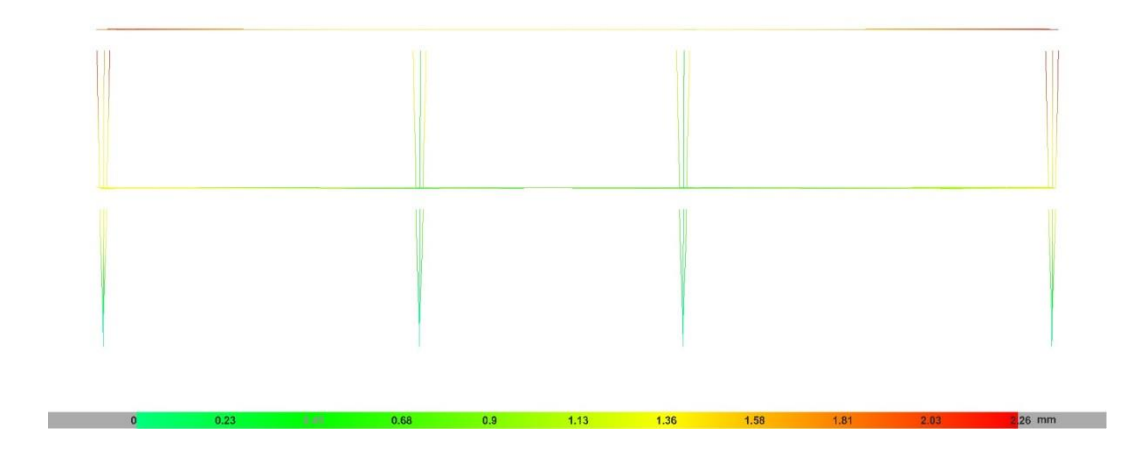


Figura 24 Sismo en "X" vista frontal Fuente: (CYPE Ingenieros, 2015)

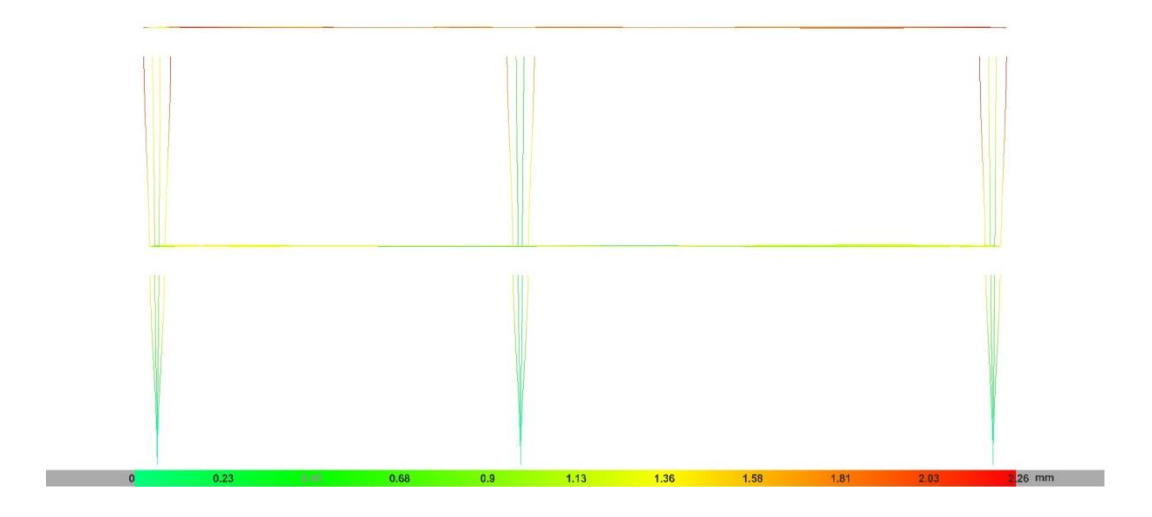


Figura 25 Sismo en "X" vista lateral Fuente: (CYPE Ingenieros, 2015)

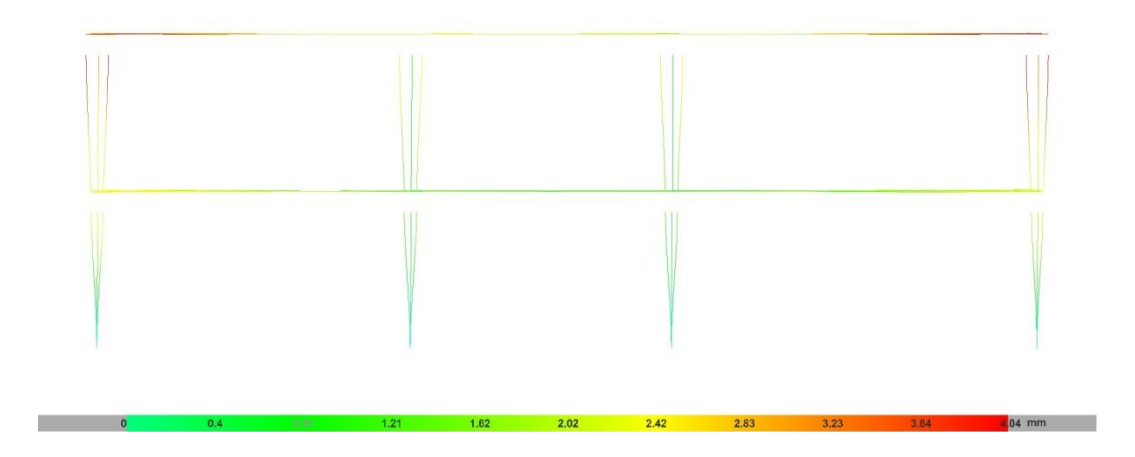


Figura 26 Sismo en "Y" vista frontal Fuente: (CYPE Ingenieros, 2015)

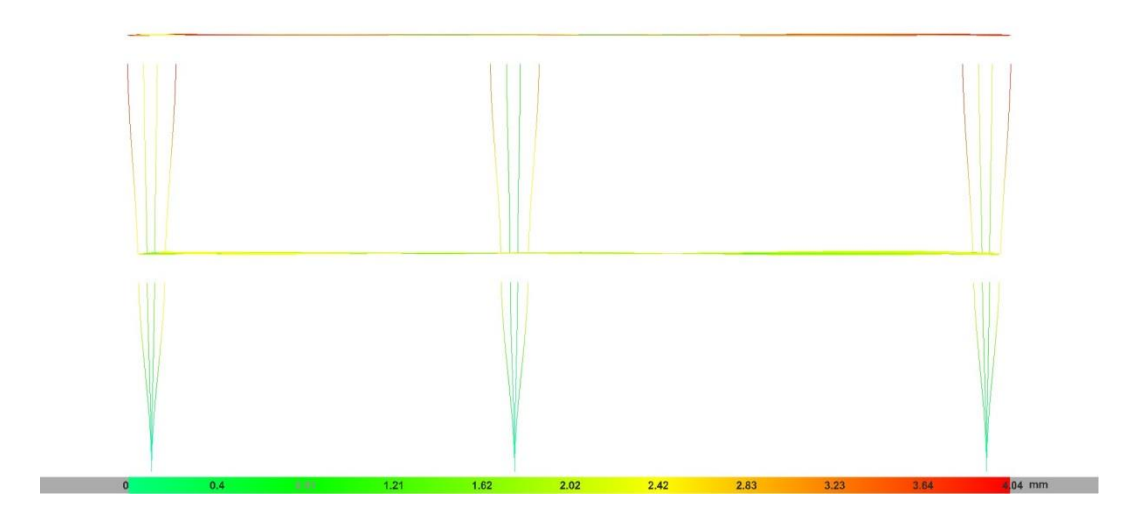


Figura 27 Sismo en "Y" vista lateral Fuente: (CYPE Ingenieros, 2015)

4. CAPÍTULO IV ANÁLISIS DE PRECIOS UNITARIOS

4.1. Cantidades de obra

Para una estructura con columnas mixtas se destacan los materiales de la tabla:

Tabla 6 Tabla detallada de Cantidades de Obra para Columnas Mixtas

Total obra - Superficie total: 423.52 m²						
Elemento	Superficie	Volumen	Barras	Laminado	Conformado	Chapas
	(m²)	(m³)	(kg)	(kg)	(kg)	(kg)
Losas	416.34	35.30	847			3002
Vigas	5.68			23964	2928	
Columnas		3.60		1928		
Total	422.02	38.90	847	25892	2928	3002

Para una estructura con columnas de acero estructural se destacan los materiales de la tabla:

Tabla 7 Tabla detallada de Cantidades de Obra para Columnas de Acero

Elemento	Superficie	Volumen	Barras	Laminado	Conformado	Chapas
	(m²)	(m³)	(kg)	(kg)	(kg)	(kg)
Losas	416.34	35.30	847			3002
Vigas	5.68			23964	2928	
Columnas				2700		
Total	422.02	35.30	847	26664	2928	3002

Total obra - Superficie total: 423.52 m²

Fuente: (Autor, 2015)

4.2. Cálculo de precios unitarios

Tabla 8 Tabla de Cantidades de Obra

	Cantidades de Obra			
Pisos	Acero	Mixtas		
1 1303	Acero (kg)	Acero (kg)	Hormigon (m3)	
2	2700	1928	3,6	
3	4936	4335	7,92	
4	7697	5780	10,56	
5	11017	7225	13,2	

Tabla 9 Precios Unitarios de Columnas

	Precios de Columnas					
Pisos	Precio Acero		Precio Mixtas			
	Acero (kg)	Acero \$	Acero (kg)	Hormigon (m3)	Mixtas \$	
2	8100	8100	5784	540	6324	
3	14808	14808	13005	1188	14193	
4	23091	23091	17340	1584	18924	
5	33051	33051	21675	1980	23655	

Tabla 10 Porcentaje de ahorro según el número de pisos

	Ahorro
Pisos	Ahorro en Columnas
1 1303	%
2	0,22
3	0,04
4	0,18
5	0,28

CONCLUSIONES Y RECOMENDACIONES

Conclusiones:

 Con la ayuda de gráficos comparativos se mencionan algunas conclusiones en distintos temas de importancia

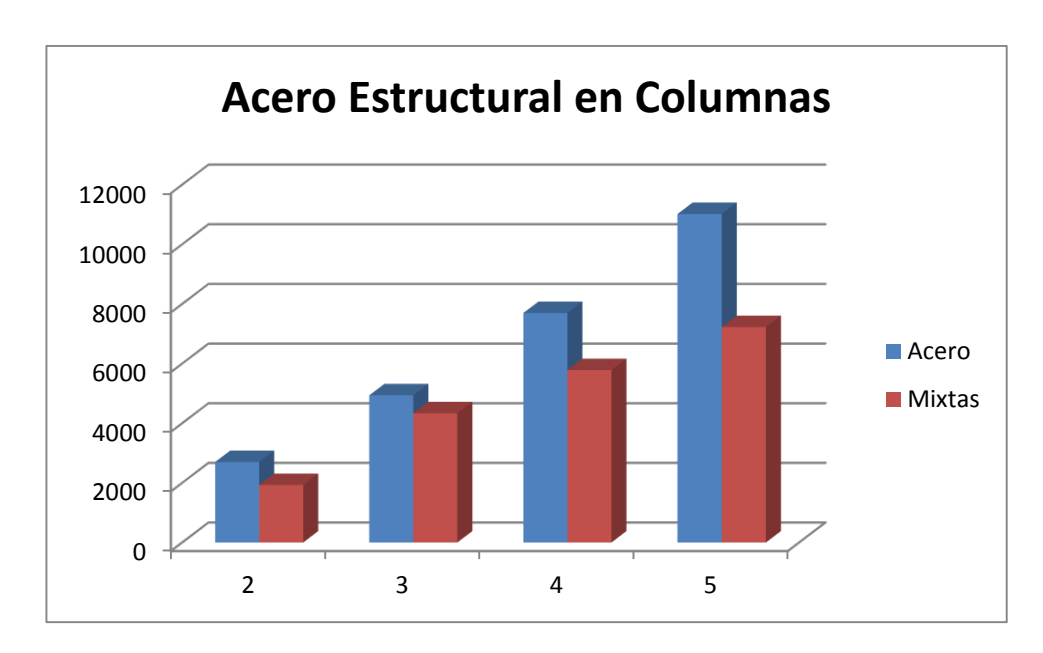


Figura 28 Cantidad de Acero según el número de pisos en gráfico de barras Fuente: (Autor, 2015)

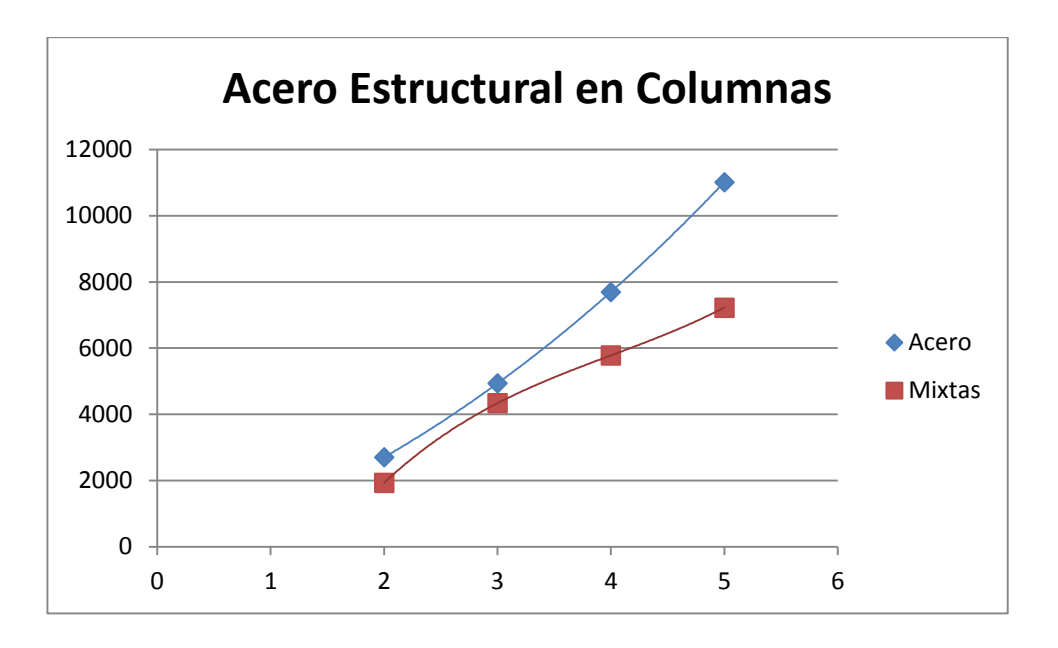


Figura 29 Cantidad de Acero según el número de pisos

- Las estructuras de acero requieren mayores dimensiones y espesores en las columnas a medida que su número de pisos aumenta, en tanto que con el uso de columnas mixtas las dimensiones aumentan pero en una medida inferior a las del acero.
- La cantidad de acero que se necesita para una edificación con columnas de acero estructural es superior a la cantidad de acero que se necesita cuando se construye con columnas mixtas, esto se debe a que estas últimas se complementan con el hormigón.
- La tendencia de uso de acero que se observa en los gráficos de estructuras con columnas mixtas va aumentando con el número de pisos, pero en proporciones menores que el aumento que se observa en las estructuras con columnas de acero estructural.

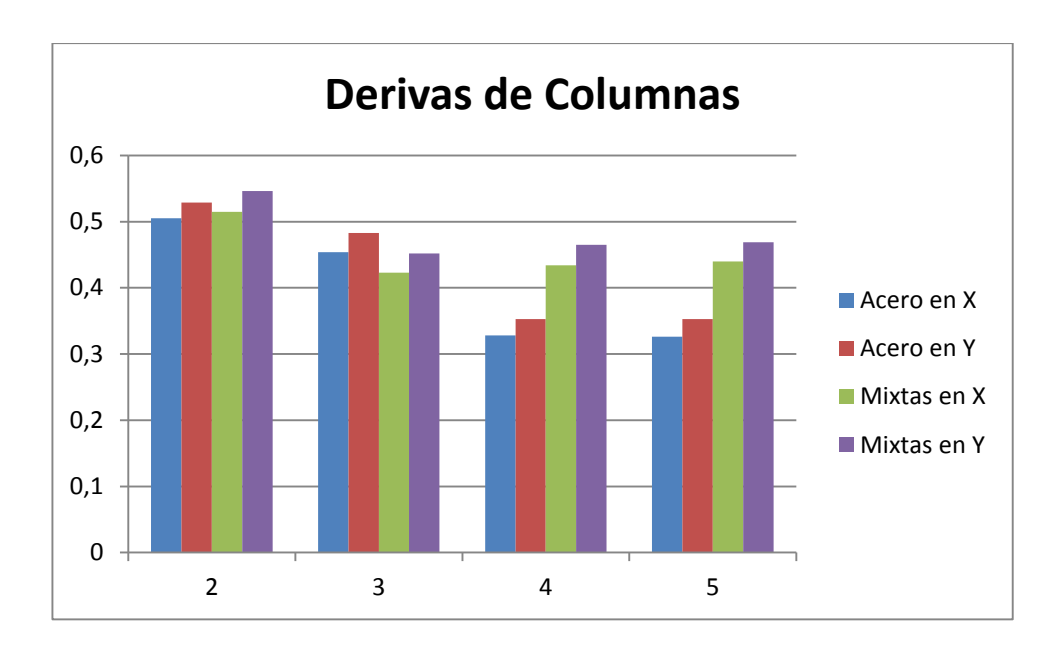


Figura 30 Derivas de Columnas según el número de pisos en gráfico de barras Fuente: (Autor, 2015)

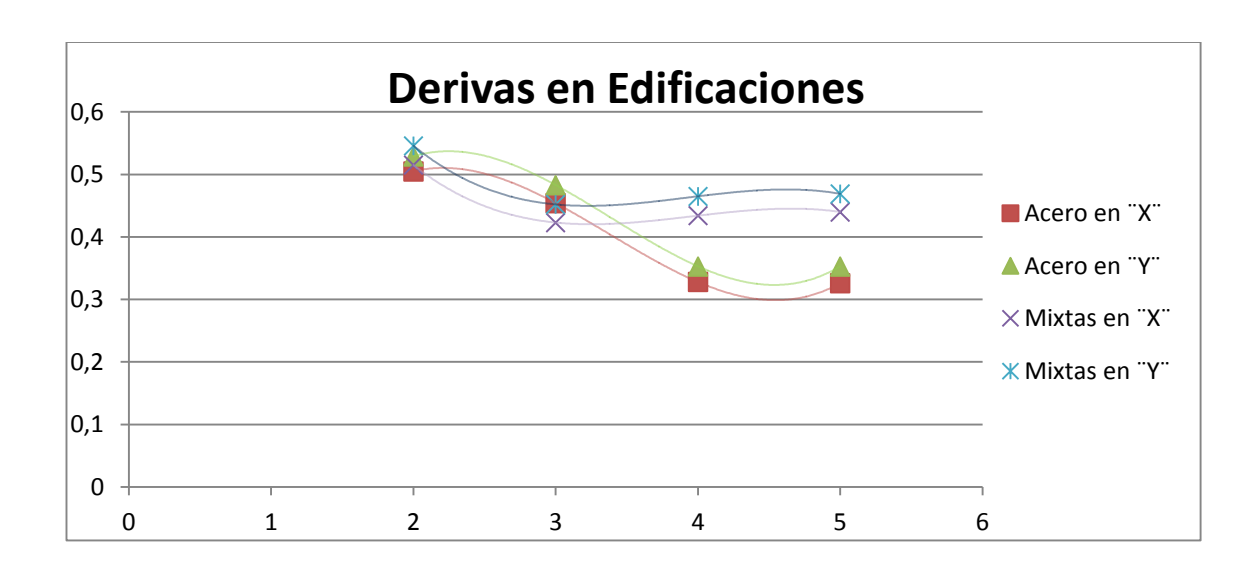


Figura 31 Derivas de Columnas según el número de pisos

• Para tener una comparación con iguales condiciones de deriva necesitaremos un edificio muy simétrico lo que es casi imposible que se realice, sin embargo no existe mayor diferencia en derivas cuando se trata de estructuras bajas con columnas de acero y estructuras bajas con columnas mixtas; cuando el número de pisos aumenta las derivas de las estructuras con columnas mixtas aumenta y esto se debe al aumento de masa y peso que existe en la estructura.

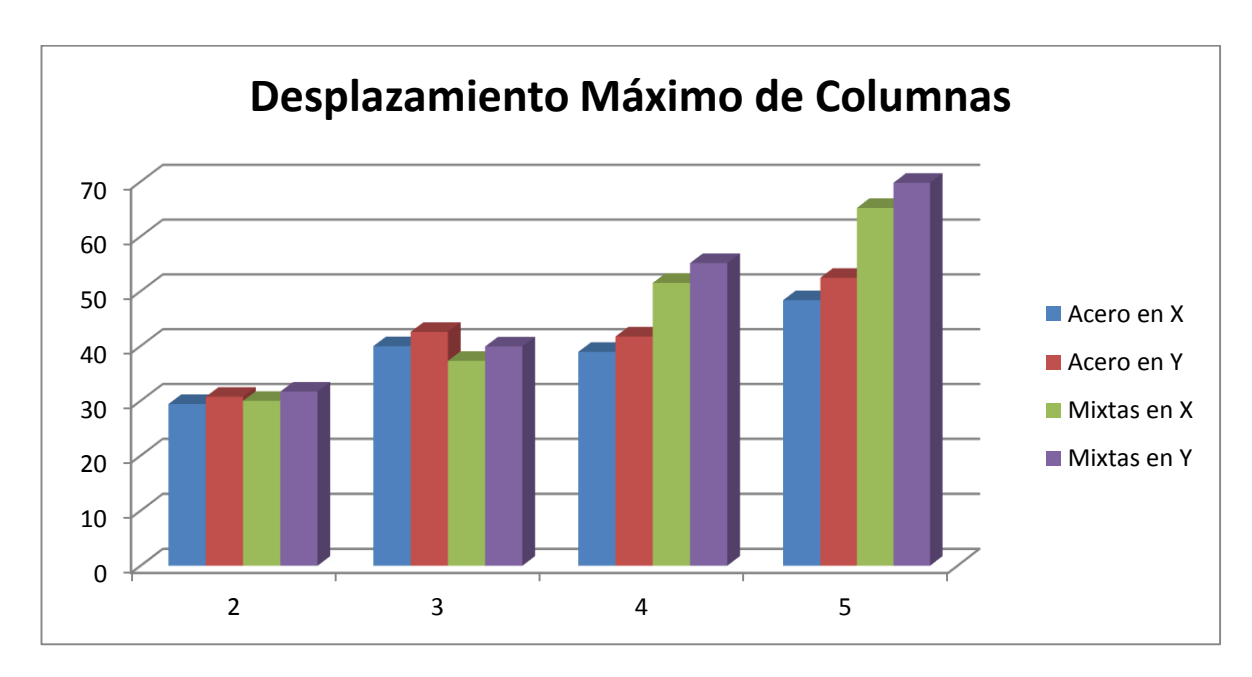


Figura 32 Desplazamiento Máximo de Columnas según el número de pisos en gráfico de barras Fuente: (Autor, 2015)

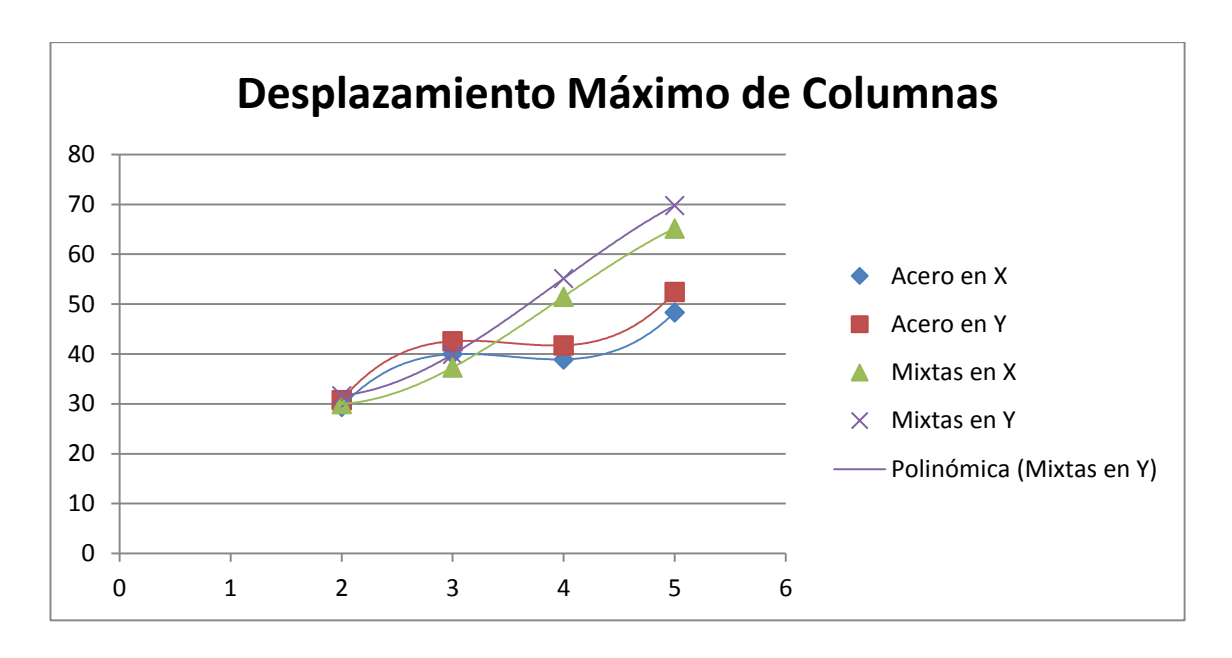


Figura 33 Desplazamiento Máximo de Columnas según el número de pisos Fuente: (Autor, 2015)

• Como podemos observar el desplazamiento de las columnas va aumentando directamente proporcional a la altura de los edificios, esto se debe a la cantidad de masa y peso que van alcanzando las estructuras mientas aumentan de altura. Se puede notar una superioridad en las estructuras mixtas ya que poseen hormigón que aumentan el peso de la estructura.

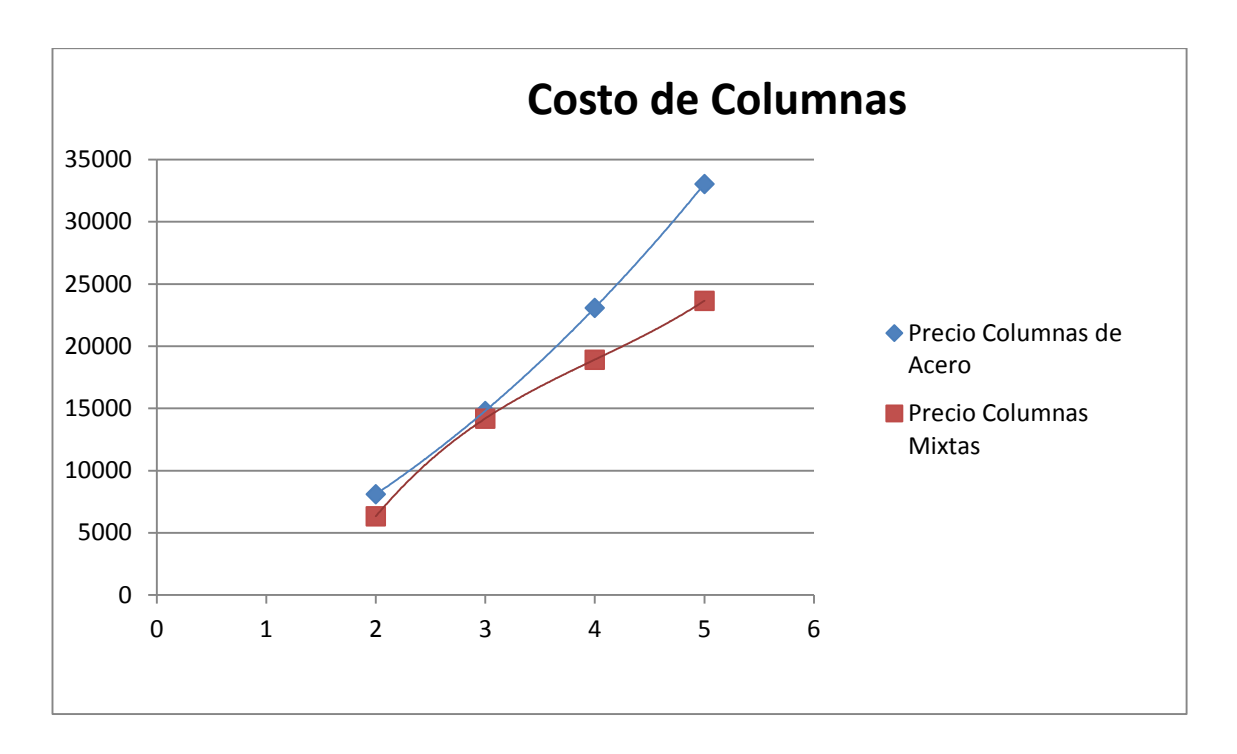


Figura 34 Comparación del Costo de Columnas

- Realizando un análisis comparativo en el costo de las columnas podemos observar que las estructuras llegan a tener un mayor valor siempre que se traten de columnas de acero.
- A medida que se aumenta el número de pisos, las estructuras mixtas siguen siendo más económicas aún, incluso más económicas que cuando se tratan de estructuras bajas.

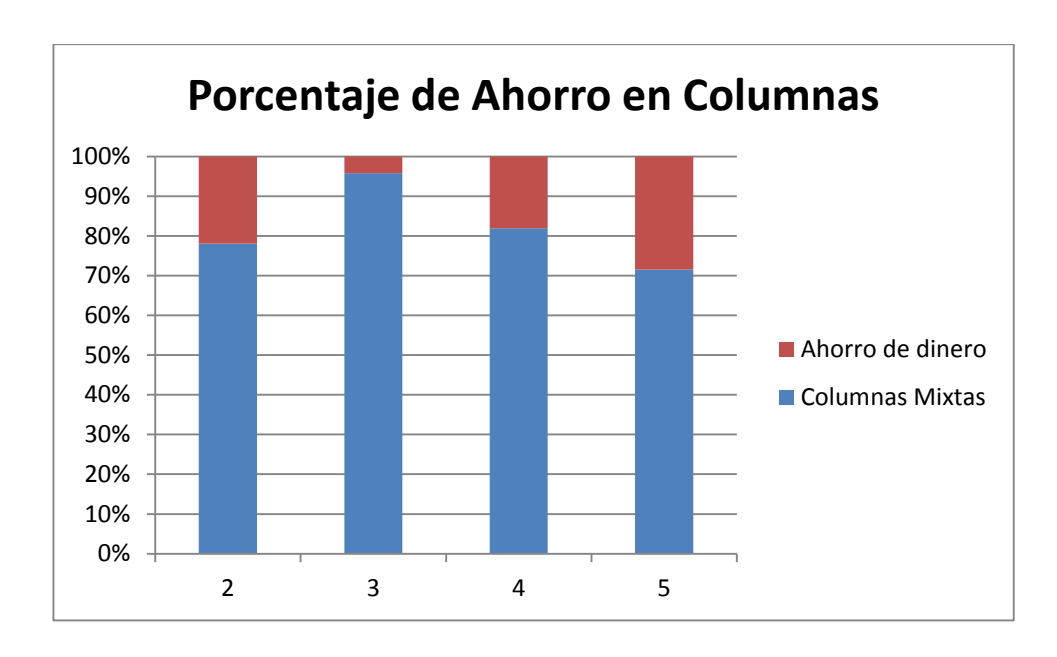


Figura 35 Porcentaje de ahorro en Columnas Mixtas

• El porcentaje de ahorro que se obtiene al usar columnas con secciones mixtas aumenta significativamente cuando el número de pisos es superior.

Recomendaciones:

- Luego del análisis comparativo que se realizó, se recomienda el uso de columnas mixtas para edificaciones de gran altura, ya que en dicho análisis se observó que en las modelaciones de dos y tres pisos las diferencias en el aspecto económico no variaban en gran magnitud, en tanto que mientras aumenta el número de pisos la diferencia aumenta notablemente.
- En el caso de derivas y reacción ante un evento sísmico las columnas de acero estructural son las más recomendadas, esto se debe a que las columnas mixtas poseen un mayor peso; cabe destacar que este fenómeno puede ser controlado sin ningún inconveniente.

BIBLIOGRAFÍA

- CAMICON-MIDUVI, C. I. (2008). Norma Ecuatoriana de la Construcción. Recuperado el 31 de Marzo de 2015, de Norma Ecuatoriana de la Construcción: http://www.normaconstruccion.ec/
- CANTABRIA, G. d. (s.f.). (2002). Columnas mixtas de acero y hormigon. Recuperado el 31 de Marzo de 2015, de grupos.unican.es/gidai/web/asignaturas/ISCIE/Pasiva%2002.pdf
- CARRASCO, S., Herrera, R., Beltrán, J., & Massone, L. (2010). Recomendaciones de Diseño de Columnas Mixtas. Santiago: Alacero.
- ESPINOZA, H. P. (2014). Diseño estructural de una edificación con secciones mixtas. Ecuador: Universidad Estatal de Cuenca.
- MC, C. (2012). Diseño de estructuras de acero . Londres: Alfaomega.
- ROMO, M. (2008). Temas de hormigón armado. Ecuador: Escuela Politécnica del ejército.
- SILVA, C. D. (2007). Programa para el diseño de columnas compuestas sujetas a flexocomprensión biaxial por los métodos:LRFD, ACI y EUROCÓDIGO 3 . Ecuador: Escuela Politécnica Nacional.

ANEXOS